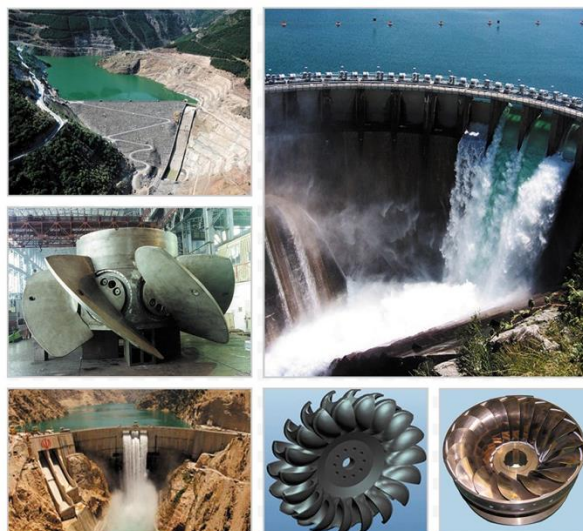


به نام خدا



مقدمه ای بر توربوماشین های تراکم ناپذیر
(پمپ - فن - توربین آبی - توربین باد و توربین جریان اقیانوسی)

ویرایش سوم

دکتر علیرضا ریاسی

دانشکده مهندسی مکانیک

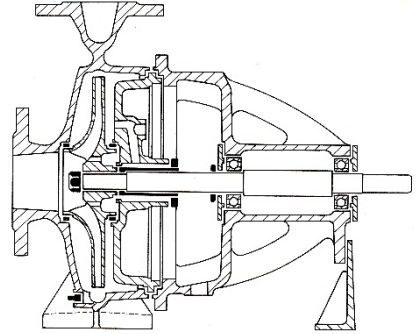
دانشگاه تهران

پاییز ۱۳۹۶

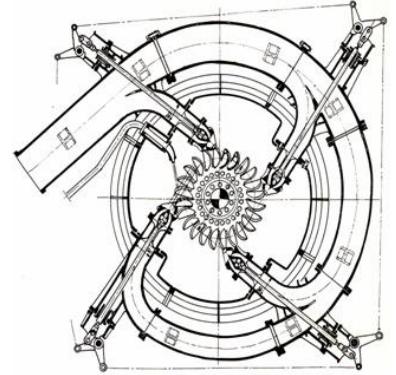
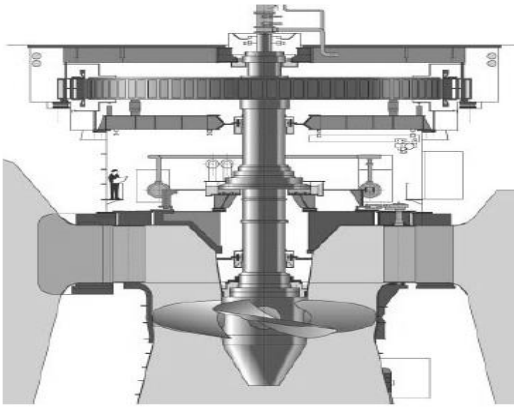
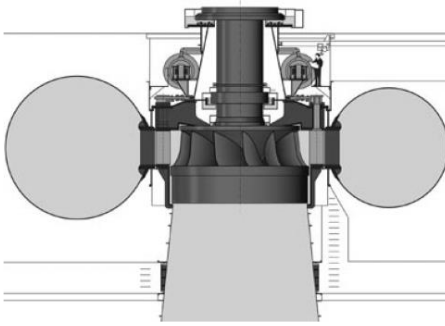


INCOMPRESSIBLE FLOW TURBOMACHINES

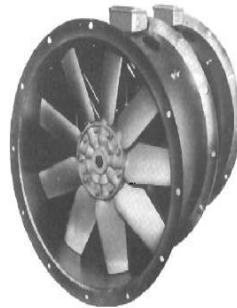
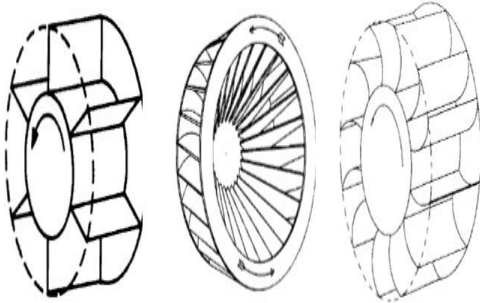
PUMPS



HYDRAULIC



FANS



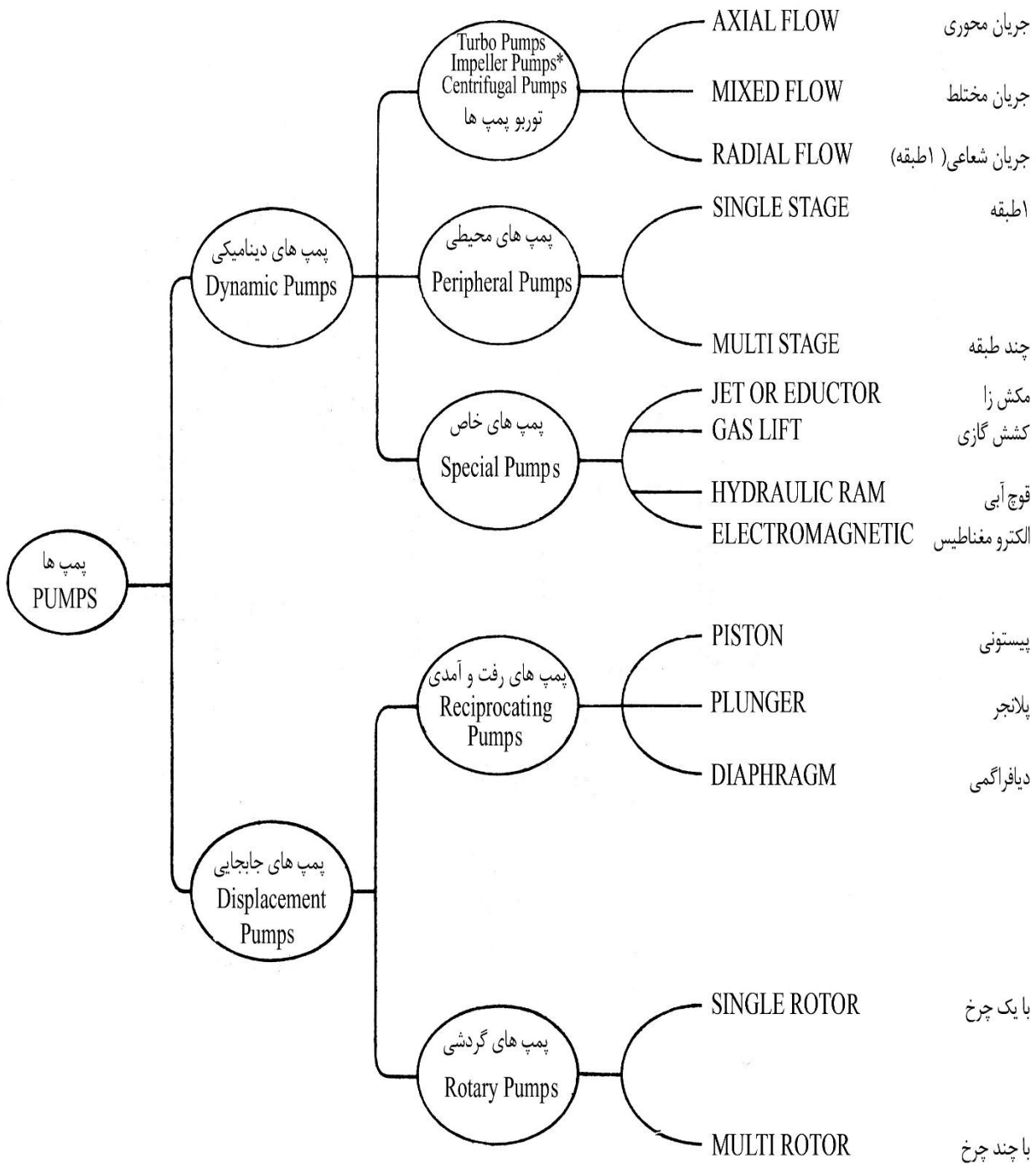
WIND TURBINES



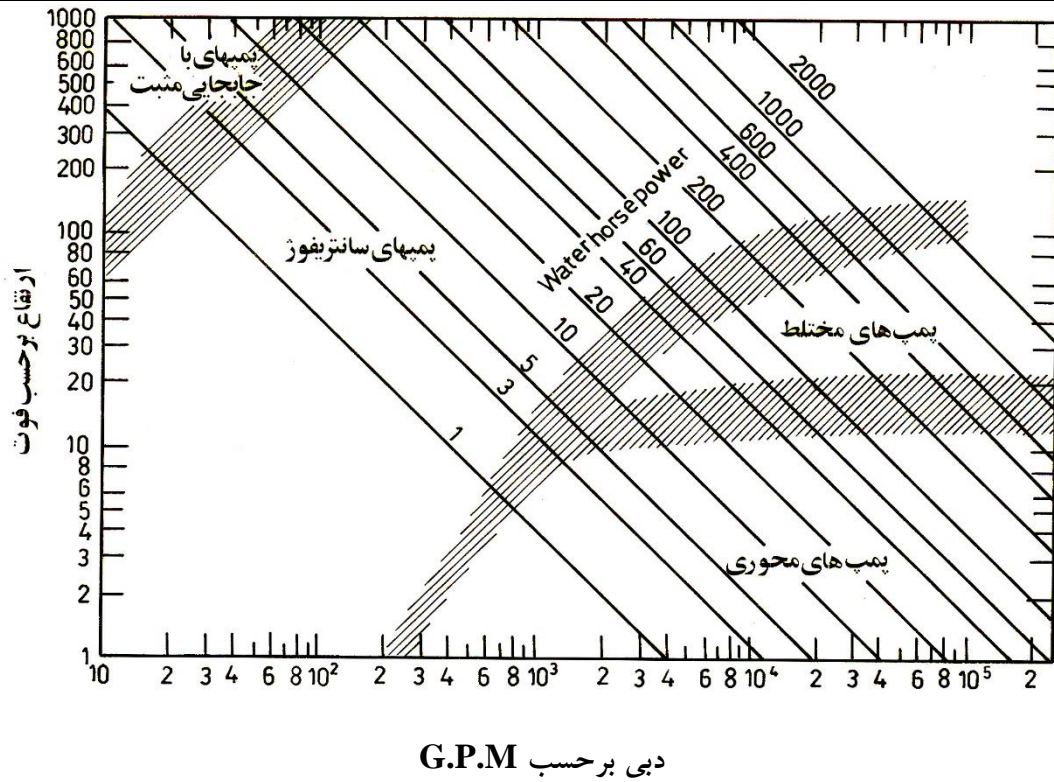
COMPRESSIBLE FLOW TURBOMACHINES

GAS TURBINES			
COMPRESSORS			
STEAM TURBINES		<div style="display: flex; justify-content: space-around;"> <div style="width: 45%;"> <p style="text-align: center;">Impulse Turbine</p> </div> <div style="width: 45%;"> <p style="text-align: center;">Reaction Turbine</p> </div> </div>	

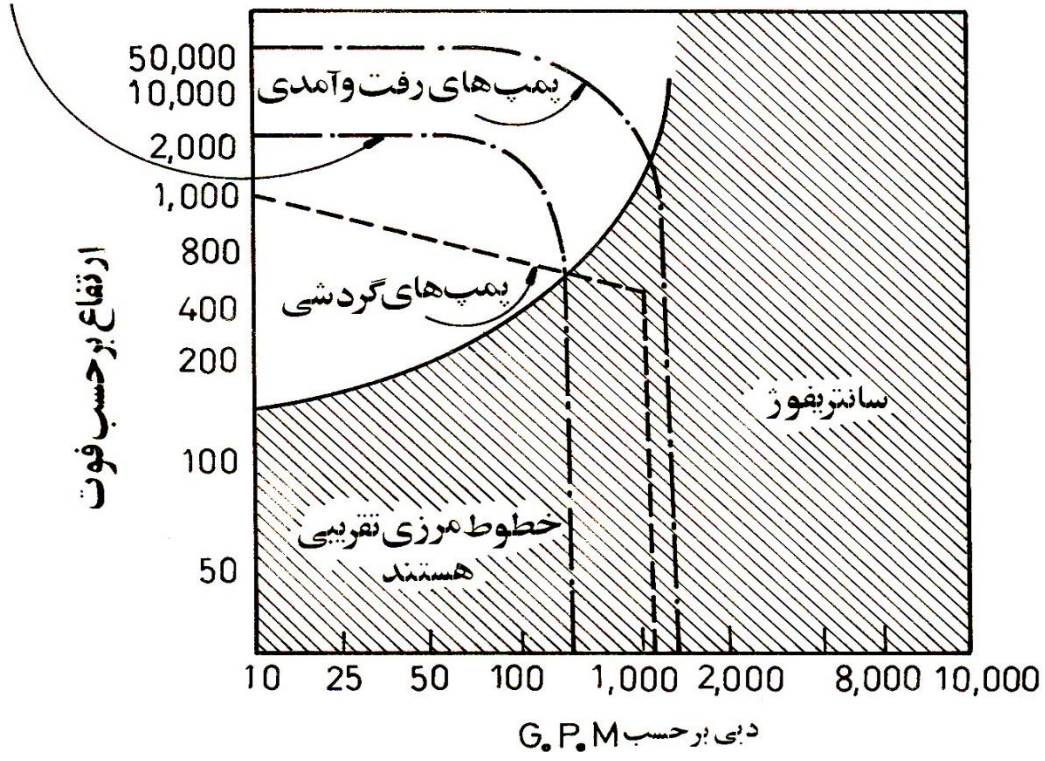
Slide#3- Turbomachinery Course- PUMP CLASSIFICATION




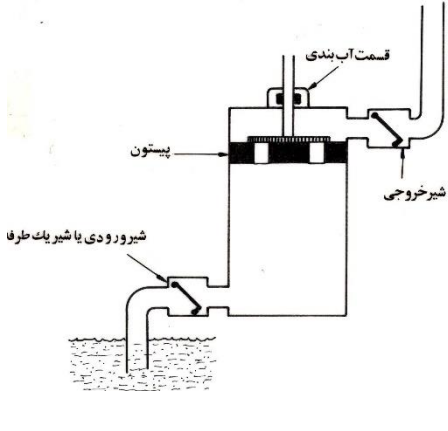
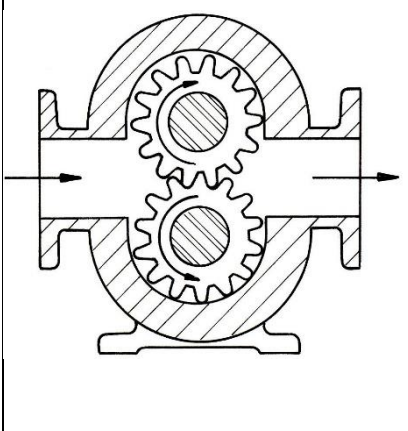


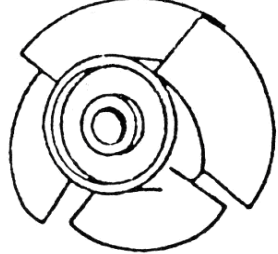
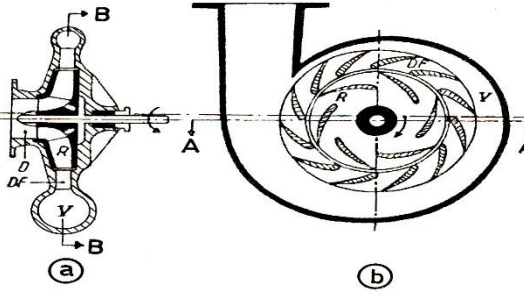
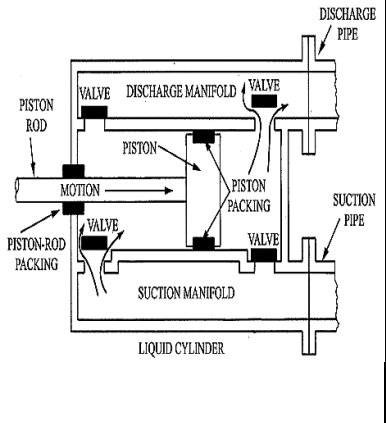
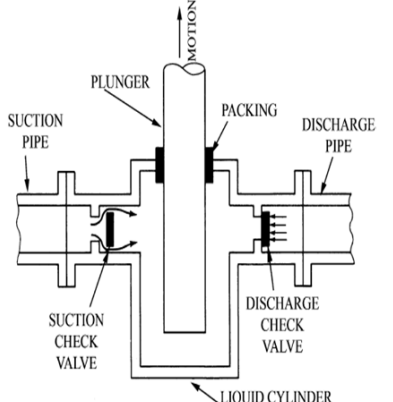
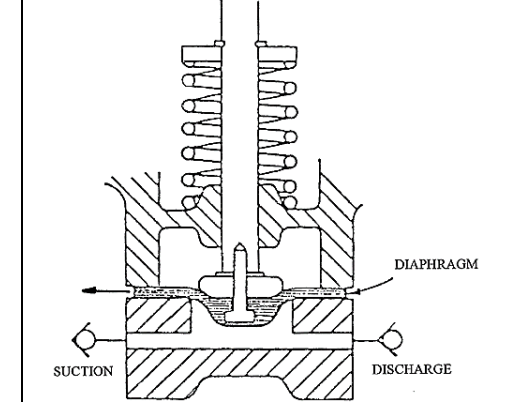
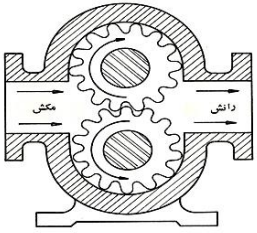
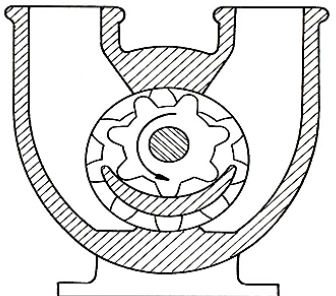
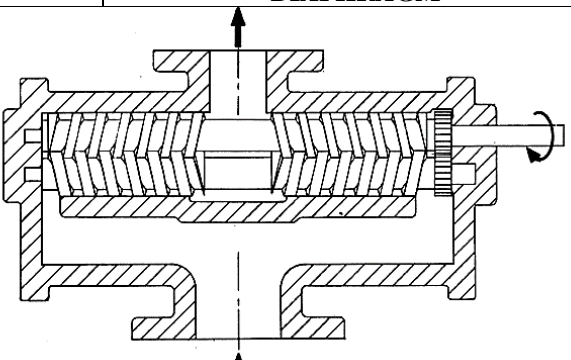
PUMP CLASSIFICATION



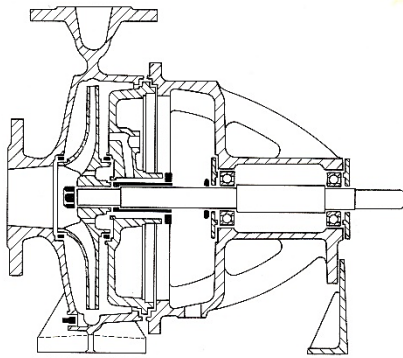
بمپ های سانتریفوز با سرعت بالا



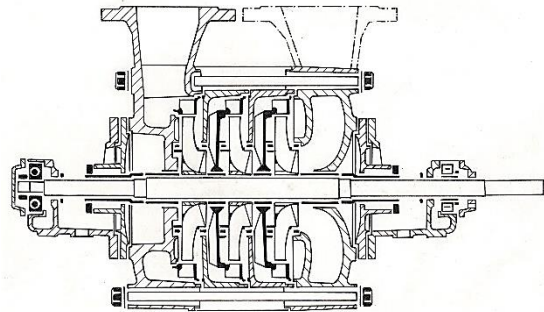
Slide#5- Turbomachinery Course- PUMPS

PUMPS						
	TURBO PUMPS		RECIPROCATING PUMPS		ROTARY PUMPS	
TURBO PUMPS						
	RADIAL		MIXED		AXIAL	
						
		D: DISTRIBUTOR, R: IMPELLER DF: DIFFUSER, V: VOLUTE				
RECIPROCATING PUMPS						
	PISTON		PLUNGER		DIAPHRAGM	
ROTARY PUMPS						
	ROTARY EXTERNAL GEAR		ROTARY INTERNAL GEAR		MULTIPLE-SCREW DOUBLE-END ARRANGEMENT	

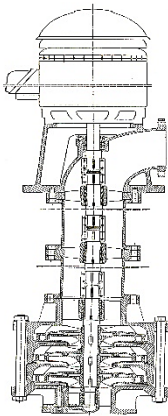
TURBO PUMP CLASSIFICATION



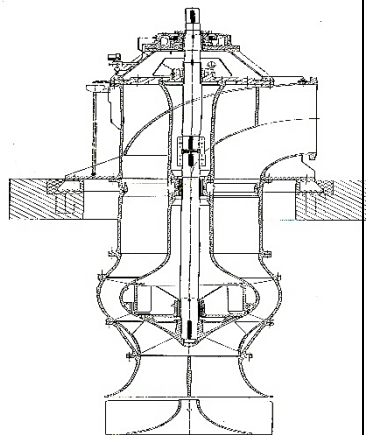
SINGLE-STAGE PUMP



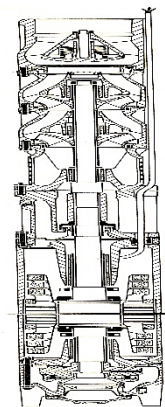
MULTI- STAGE PUMP



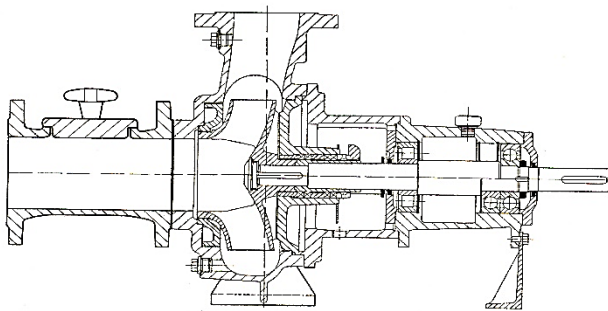
VERTICAL MULTI-STAGE CENTRIFUGAL PUMP



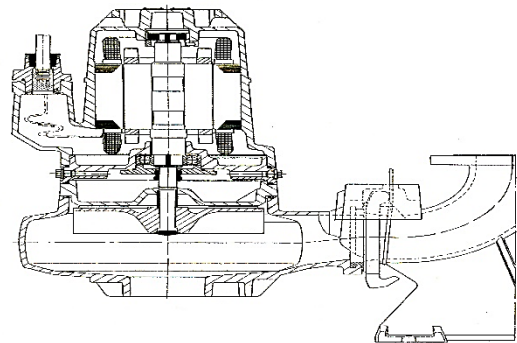
VERTICAL MIXED FLOW SINGLE-STAGE PUMP



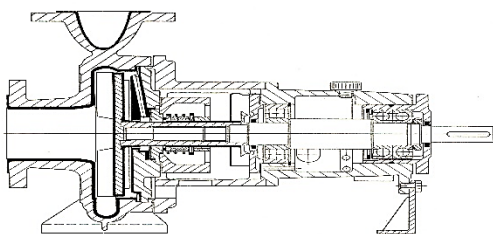
VERTICAL SUBMERSIBLE PUMP



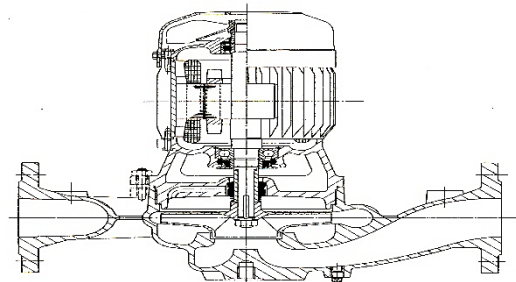
HORIZONTAL SLUDGE PUMP



VERTICAL SUBMERSIBLE SLUDGE PUMP



HORIZONTAL CHEMICAL PUMP

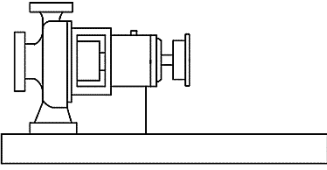

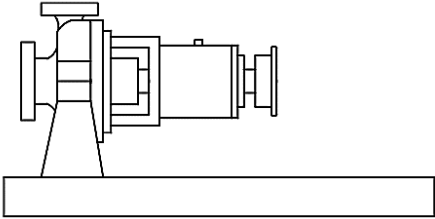

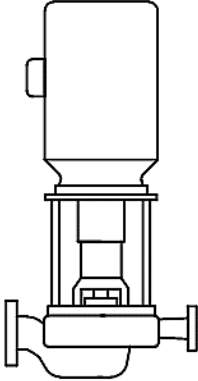
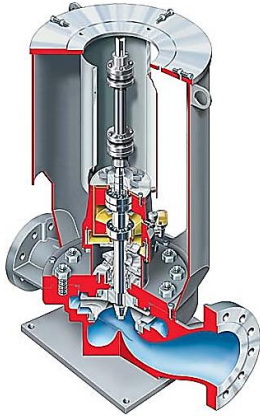
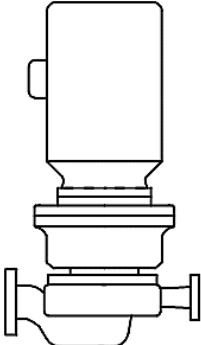



DOUBLE SUCTION PUMP

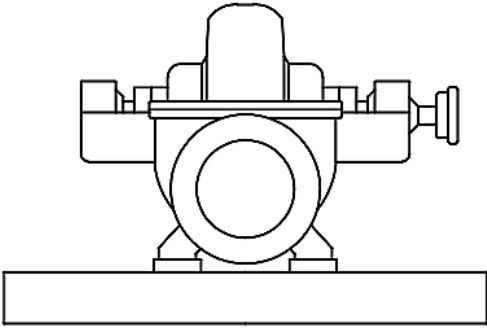
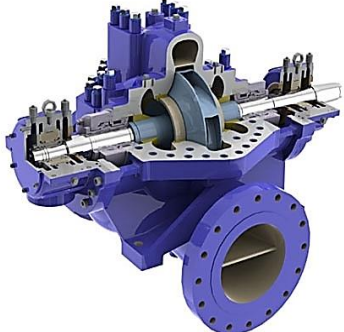
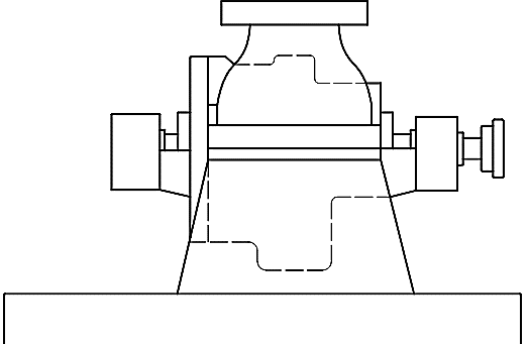
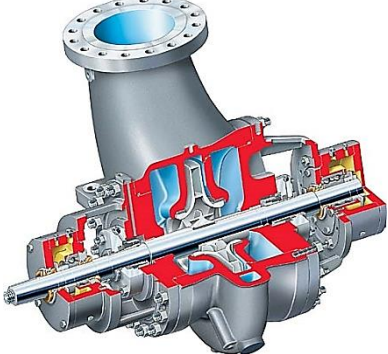
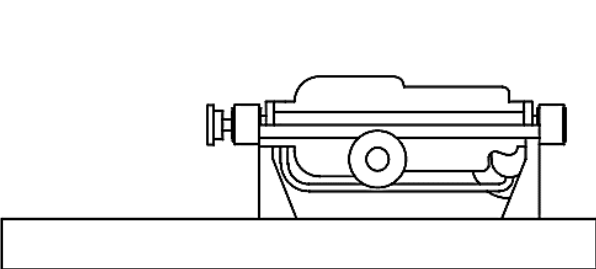
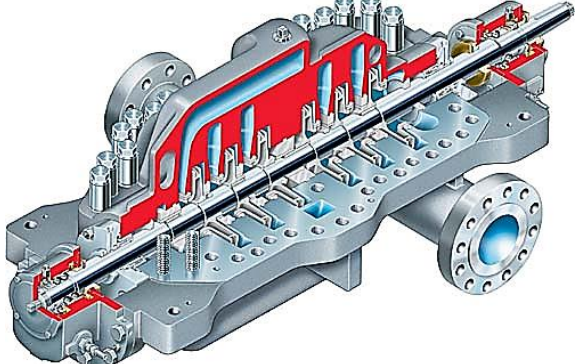
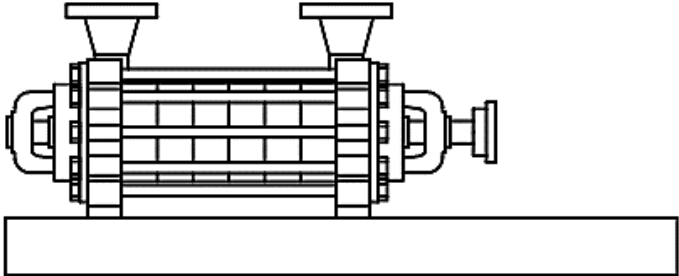
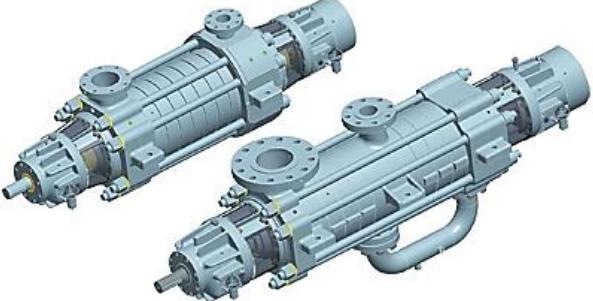
API 610

Pump type			Orientation		Type code
Centrifugal pumps	Overhung	Flexibly coupled	Horizontal	Foot-mounted	OH1
				Centreline-supported	OH2
			Vertical in-line with bearing bracket	OH3	
		Rigidly coupled	Vertical in-line	OH4	
		Close-coupled	Vertical in-line	OH5	
			High-speed integrally geared	OH6	
	Between-bearings	1- and 2-stage	Axially split	BB1	
			Radially split	BB2	
		Multistage	Axially split	BB3	
			Radially split	Single casing	BB4
				Double casing	BB5
	Vertically suspended	Single casing	Discharge through column	Diffuser	VS1
				Volute	VS2
				Axial flow	VS3
		Separate discharge	Line shaft	VS4	
			Cantilever	VS5	
		Double casing	Diffuser	VS6	
Volute			VS7		

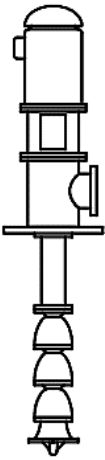
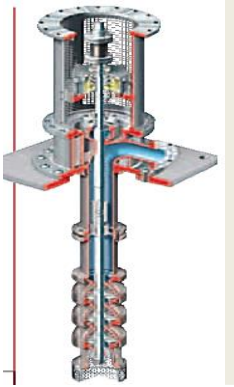
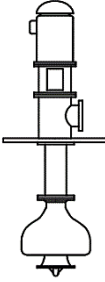

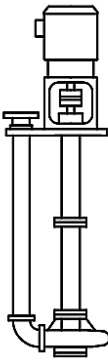
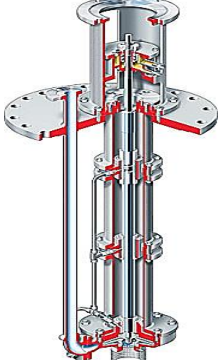
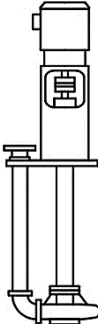

API 610

<p style="writing-mode: vertical-rl; transform: rotate(180deg);">OH1</p>		
<p>FOOT-MOUNTED SINGLE-STAGE OVERHUNG PUMPS SHALL BE DESIGNATED PUMP TYPE OH1</p>		
<p style="writing-mode: vertical-rl; transform: rotate(180deg);">OH2</p>		
<p>CENTRELINE-MOUNTED SINGLE-STAGE OVERHUNG PUMPS. THE PUMPS ARE MOUNTED ON A BASEPLATE AND ARE FLEXIBLY COUPLED TO THEIR DRIVERS.</p>		
<p style="writing-mode: vertical-rl; transform: rotate(180deg);">OH3</p>		
<p>VERTICAL IN-LINE SINGLE-STAGE OVERHUNG PUMPS WITH SEPARATE BEARING BRACKETS. THE PUMPS AND THEIR DRIVERS ARE FLEXIBLY COUPLED</p>		
<p style="writing-mode: vertical-rl; transform: rotate(180deg);">OH6</p>		
<p>HIGH-SPEED INTEGRAL GEAR-DRIVEN SINGLE-STAGE OVERHUNG PUMPS</p>		

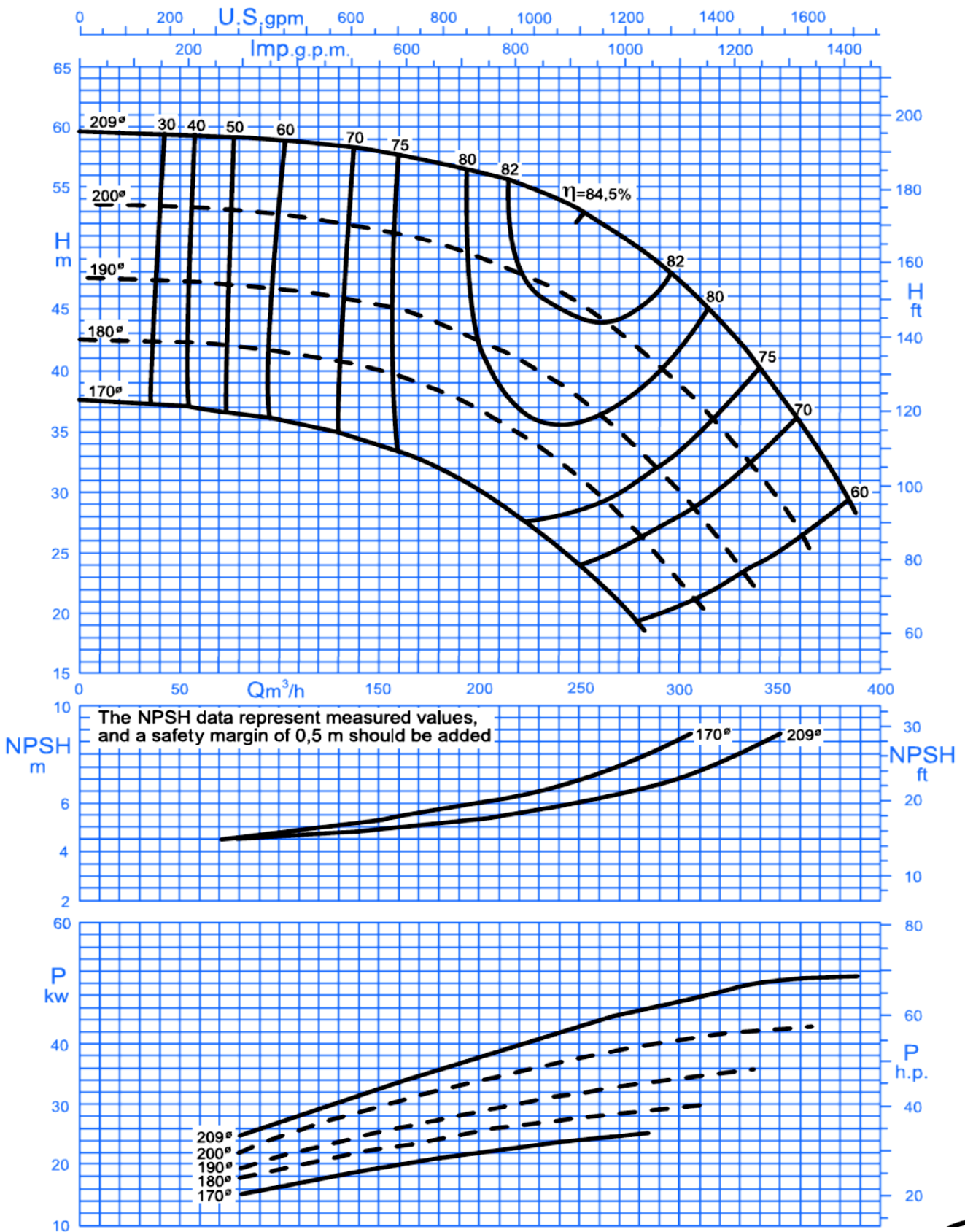
API 610

<p>BB1</p>		
	<p>AXIALLY SPLIT ONE- AND TWO-STAGE BETWEEN-BEARINGS PUMPS</p>	
<p>BB2</p>		
	<p>RADIALLY SPLIT ONE- AND TWO-STAGE BETWEEN-BEARINGS PUMPS</p>	
<p>BB3</p>		
	<p>AXIALLY SPLIT MULTISTAGE BETWEEN-BEARINGS PUMPS</p>	
<p>BB4</p>		
	<p>SINGLE-CASING RADIALLY SPLIT MULTISTAGE BETWEEN-BEARINGS PUMPS</p>	

API 610

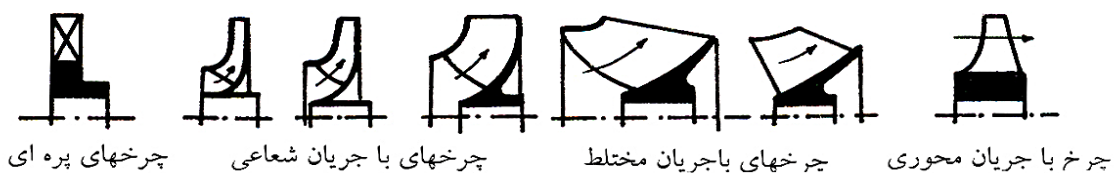
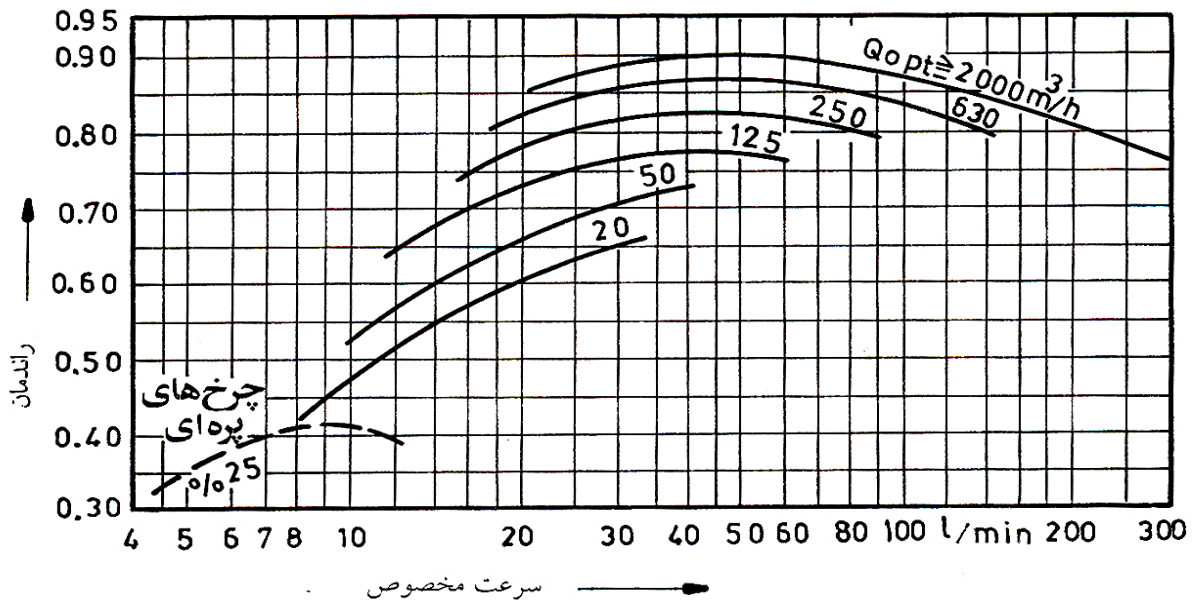
<p style="writing-mode: vertical-rl; transform: rotate(180deg);">VS1</p>		
	<p>WET PIT, VERTICALLY SUSPENDED, SINGLE-CASING DIFFUSER PUMPS WITH DISCHARGE THROUGH THE COLUMN</p>	
<p style="writing-mode: vertical-rl; transform: rotate(180deg);">VS2</p>		
	<p>WET PIT, VERTICALLY SUSPENDED SINGLE-CASING VOLUTE PUMPS WITH DISCHARGE THROUGH THE COLUMN</p>	
<p style="writing-mode: vertical-rl; transform: rotate(180deg);">VS4</p>		
	<p>VERTICALLY SUSPENDED, SINGLE-CASING VOLUTE LINE-SHAFT DRIVEN SUMP PUMPS</p>	
<p style="writing-mode: vertical-rl; transform: rotate(180deg);">VS5</p>		
	<p>VERTICALLY SUSPENDED CANTILEVER SUMP PUMPS</p>	

Slide#11- Turbomachinery Course- PUMP CHARACTERISTICS (100-200)



دور موتور ۲۹۰۰ / 2900 rpm

Slide#12- Turbomachinery Course- PUMP-SPECIFIC SPEED



سرعت مخصوص عبارتست از:

$$N_s = N \frac{Q^{1/2}}{H^{3/4}}$$

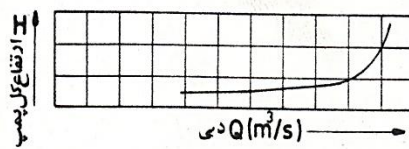
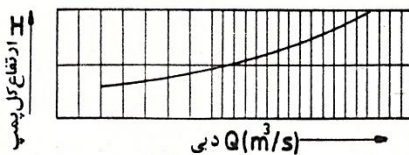
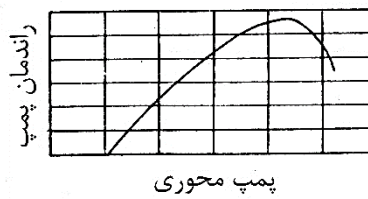
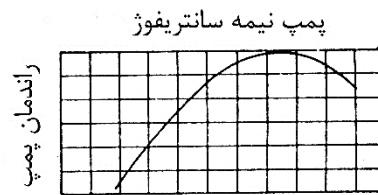
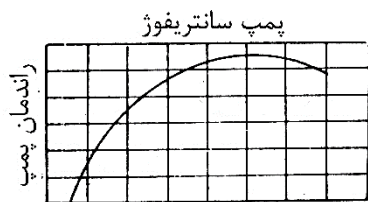
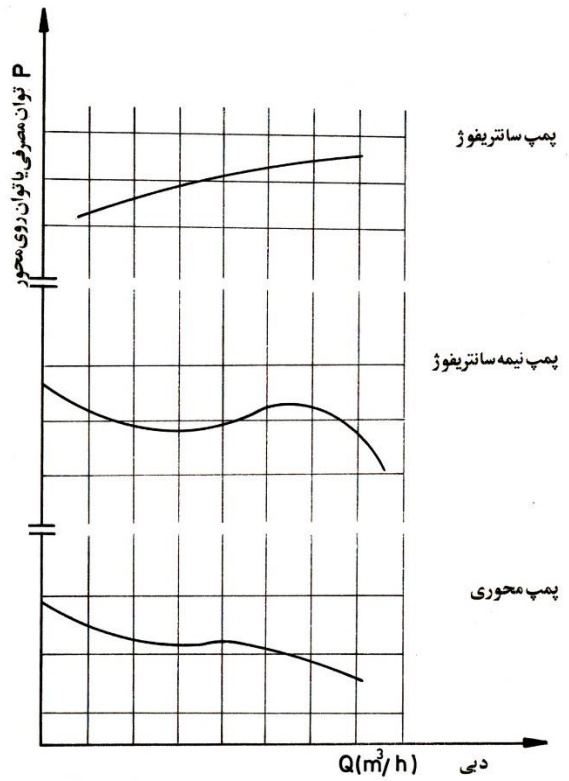
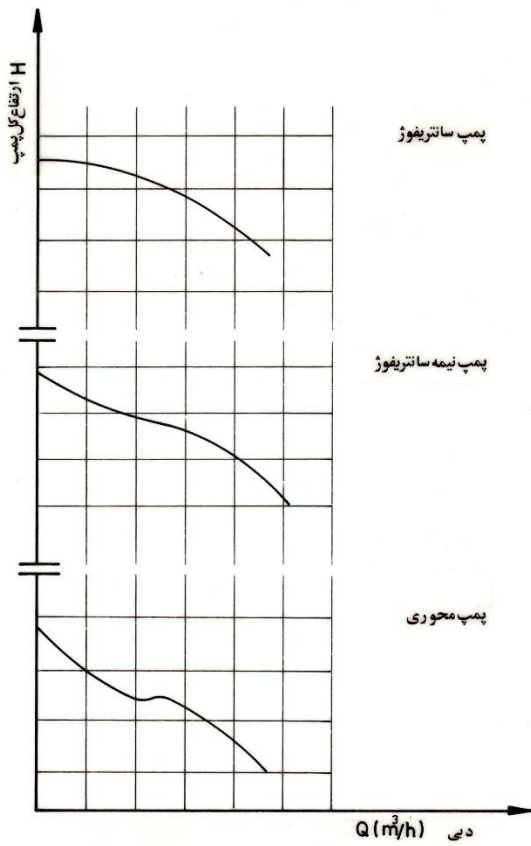
در این رابطه :

Q: دبی در نقطه راندمان ماکزیمم بر حسب مترمکعب بر ثانیه (m³ / s)

H: ارتفاع در نقطه راندمان ماکزیمم بر حسب متر (m)

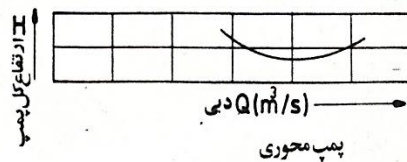
N: سرعت دورانی پمپ بر حسب 1 / min

Slide#13- Turbomachinery Course- PUMP-SPECIFIC SPEED

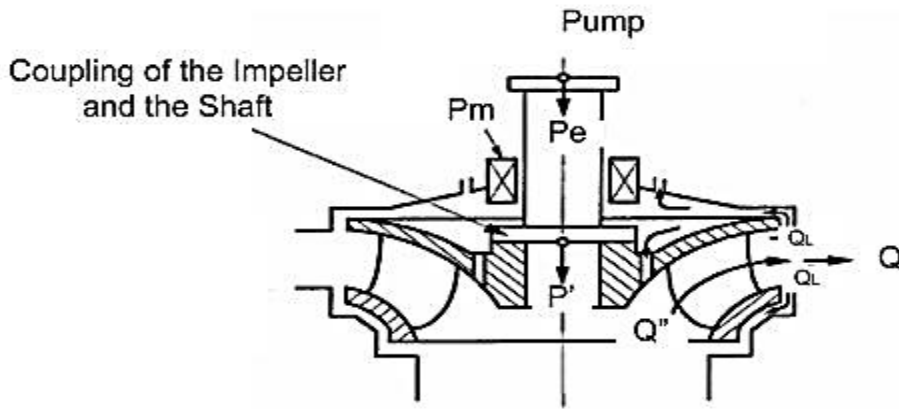


پمپ سانتریفوژ

پمپ نیمه سانتریفوژ



Slide#14- Turbomachinery Course- PUMP-LOSSES



$$Q = Q'' - Q_L$$

$$P = E \cdot (\rho Q)$$

$$P_e = P' + P_m$$

$$P' = P'' + P_D$$

$$\eta_V = \frac{Q}{Q''} = \frac{Q}{Q + Q_L}$$

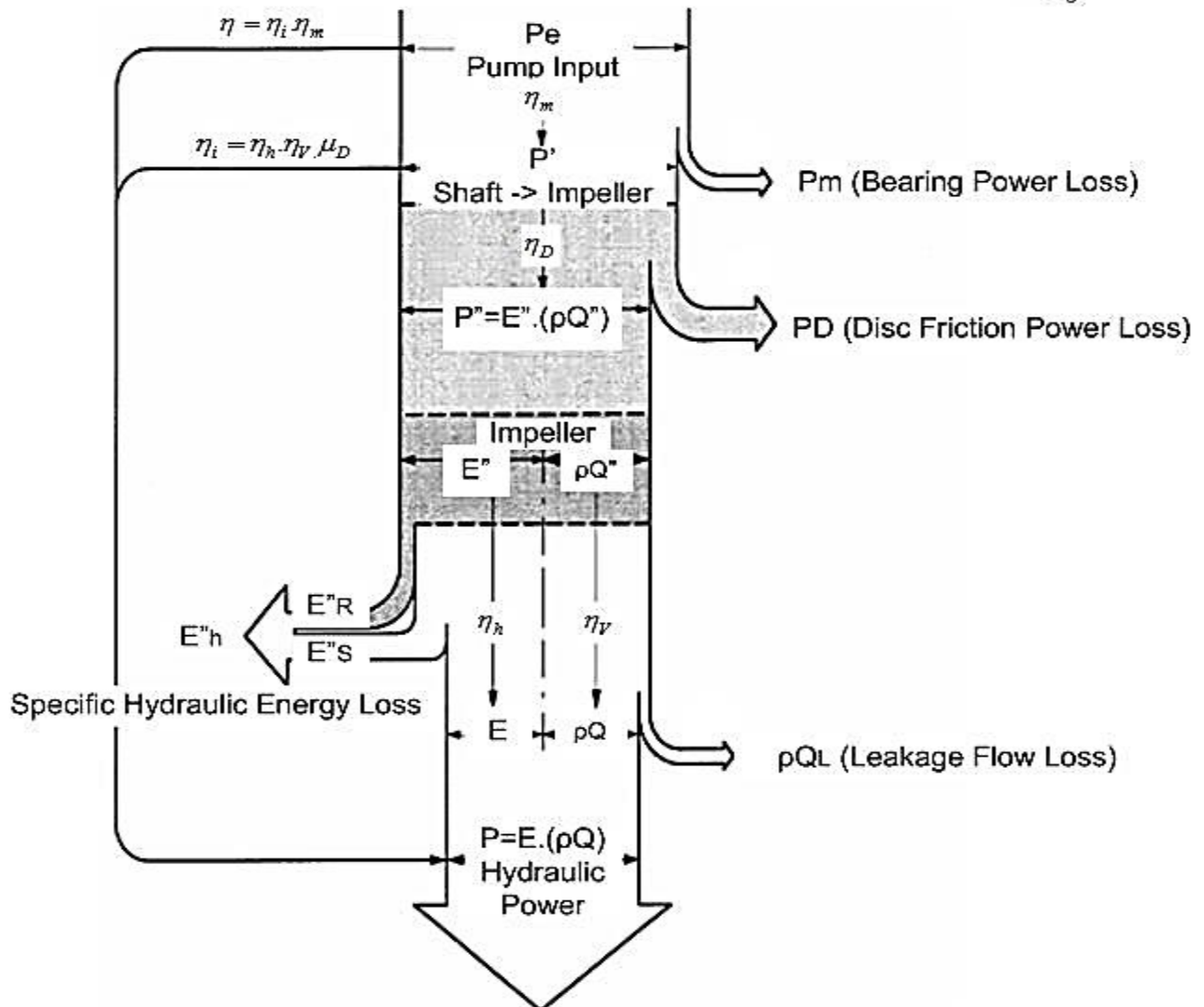
$$\eta_h = \frac{E}{E''}$$

$$\eta_D = \frac{P''}{P'} = \frac{P''}{P'' + P_D}$$

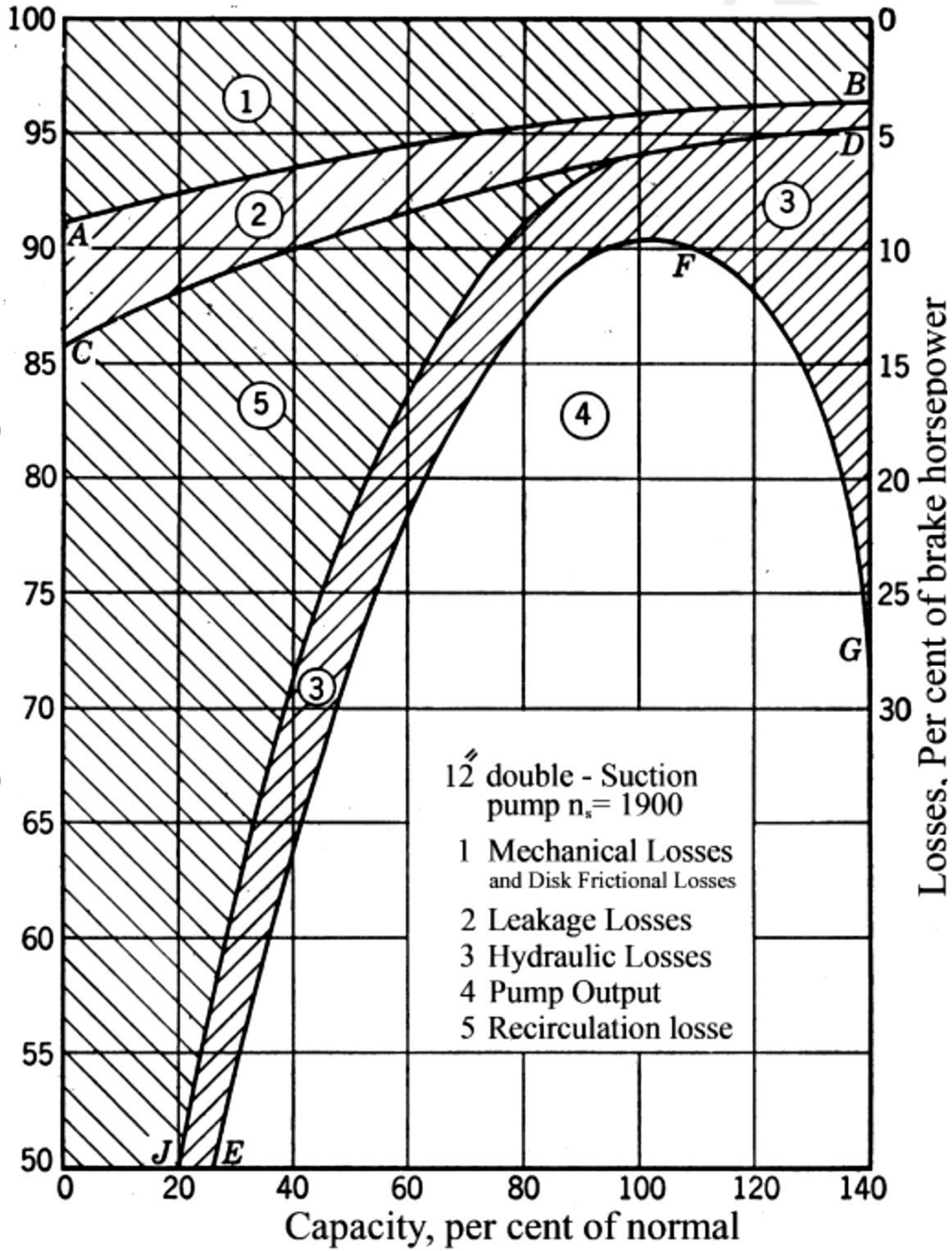
$$\eta_m = \frac{P'}{P_e} = \frac{P'}{P' + P_m}$$

$$\eta_i = \eta_h \eta_V \eta_D = \frac{P}{P'}$$

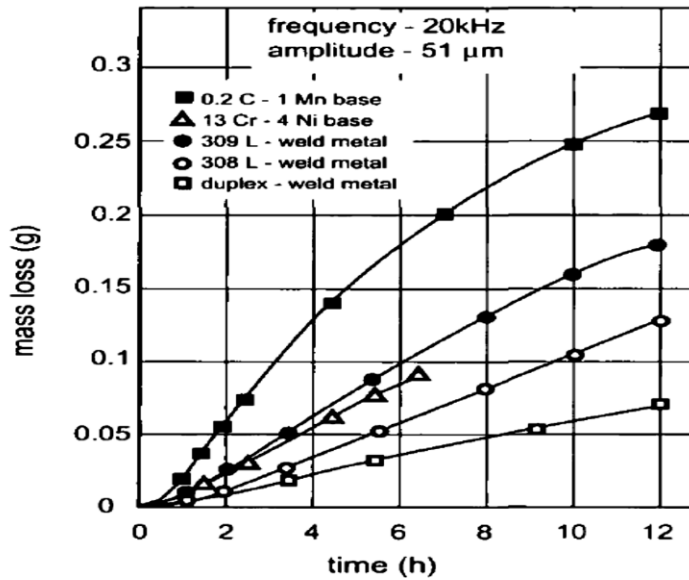
$$\eta = \eta_i \eta_m = \frac{P}{P_e}$$



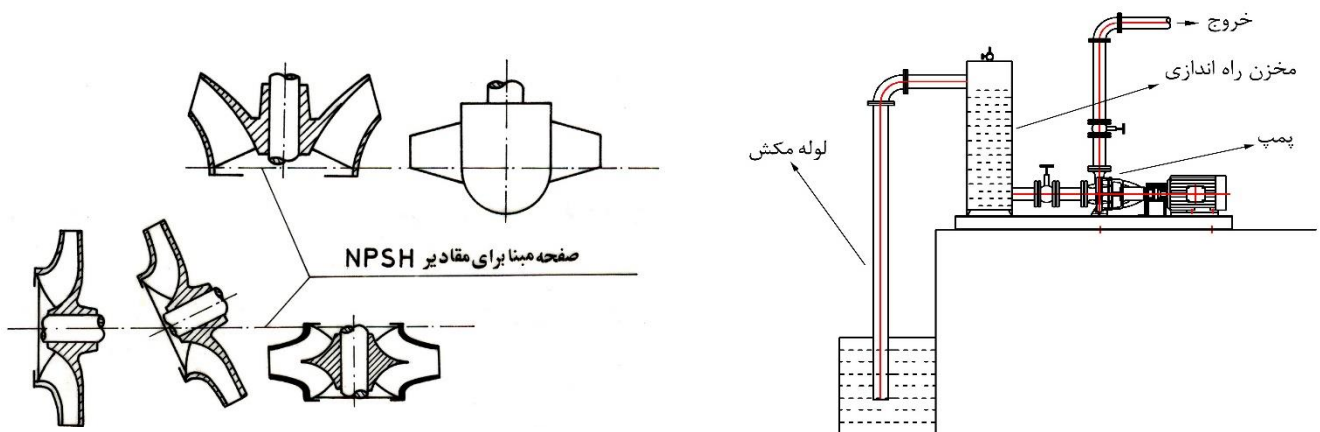
Slide#15- Turbomachinery Course- PUMP-LOSSES



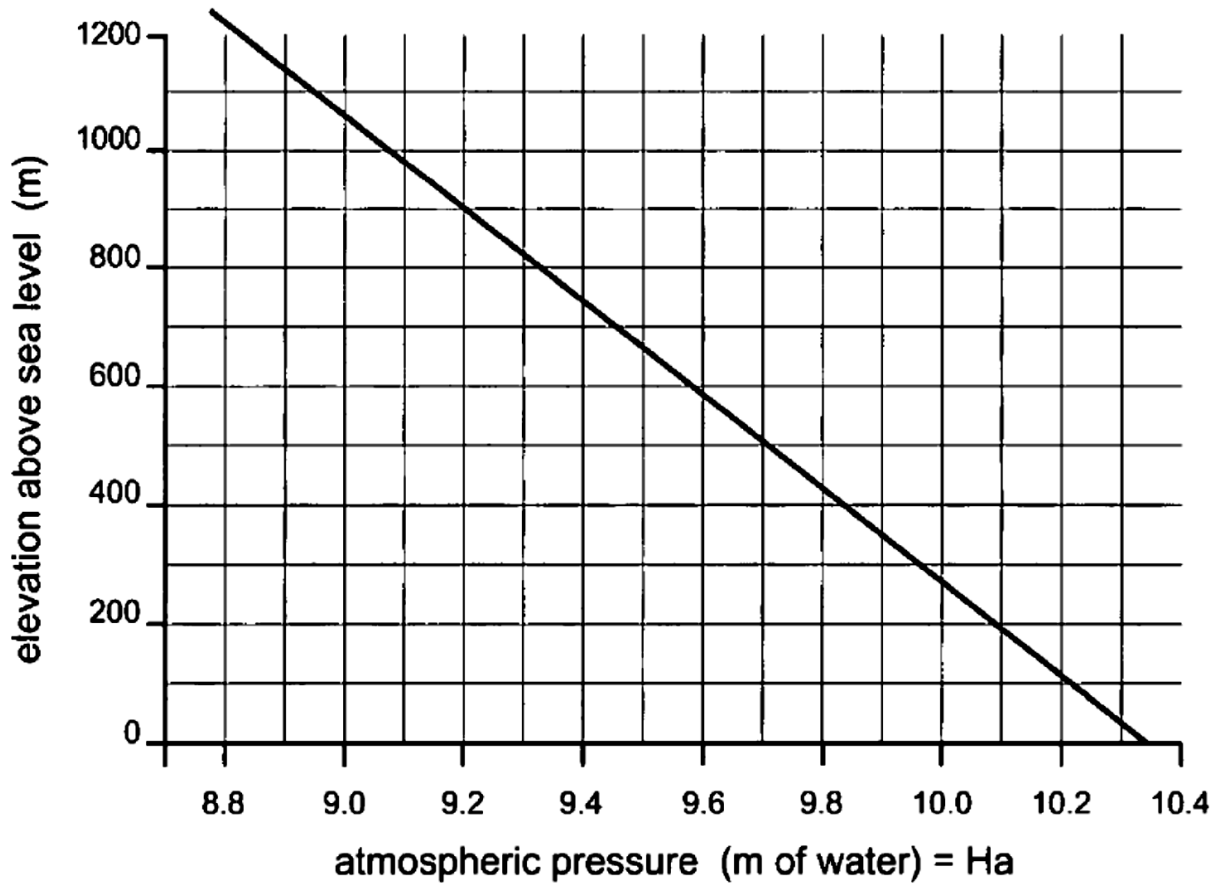
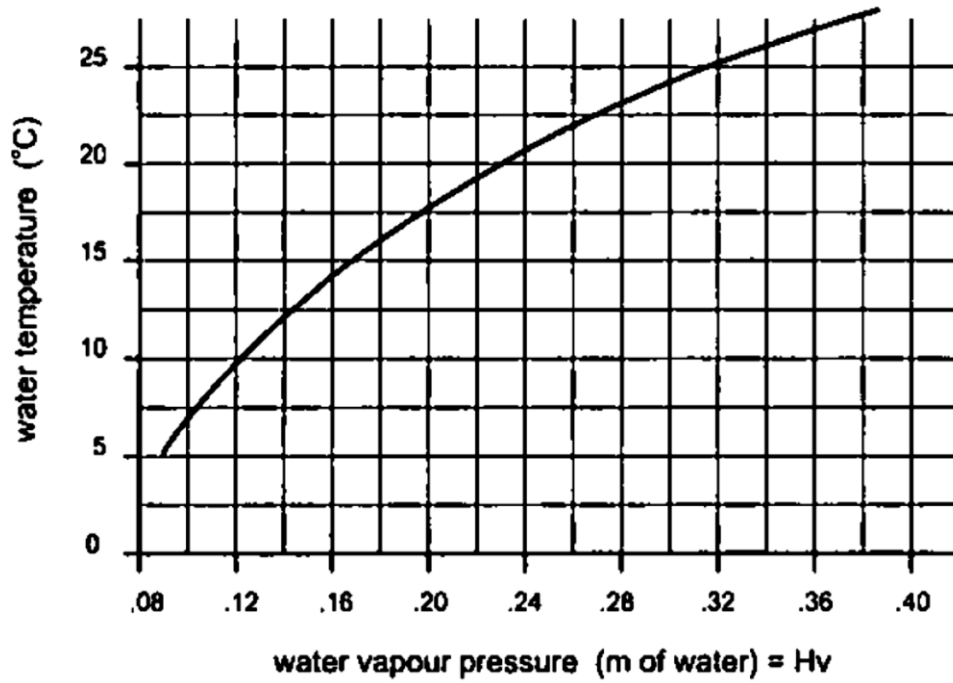
Slide#16- Turbomachinery Course-PUMP-CAVITATION



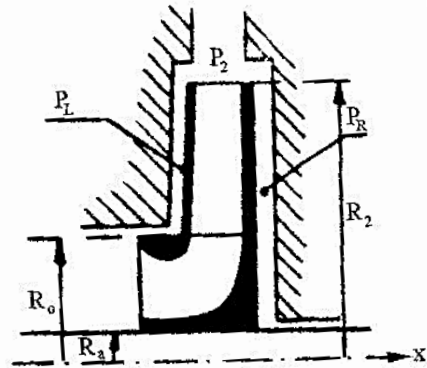
material	cavitation rate (mg/h)
A-27 – cast	35.0
CA6NM – cast	15.0
308 Stainless Steel – welded	15.0
301 Stainless Steel – welded	6.0
Stellite [®] 21 – welded	1.4
Stellite [®] 6 – welded	0.7



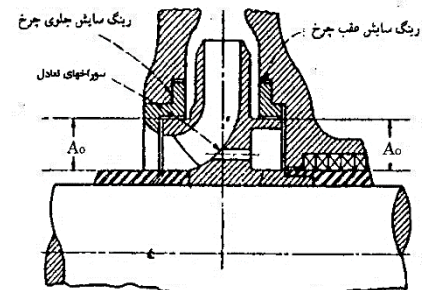
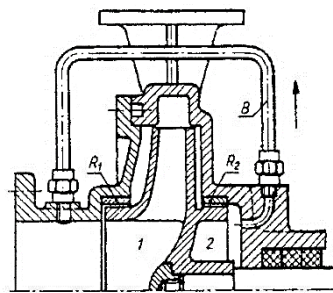
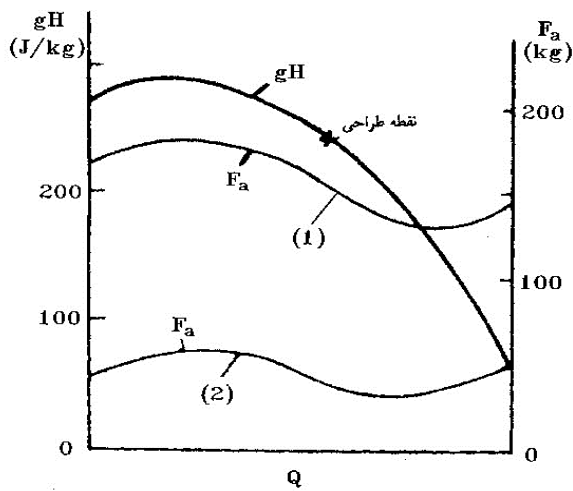
Slide#17- Turbomachinery Course- PUMP-CAVITATION



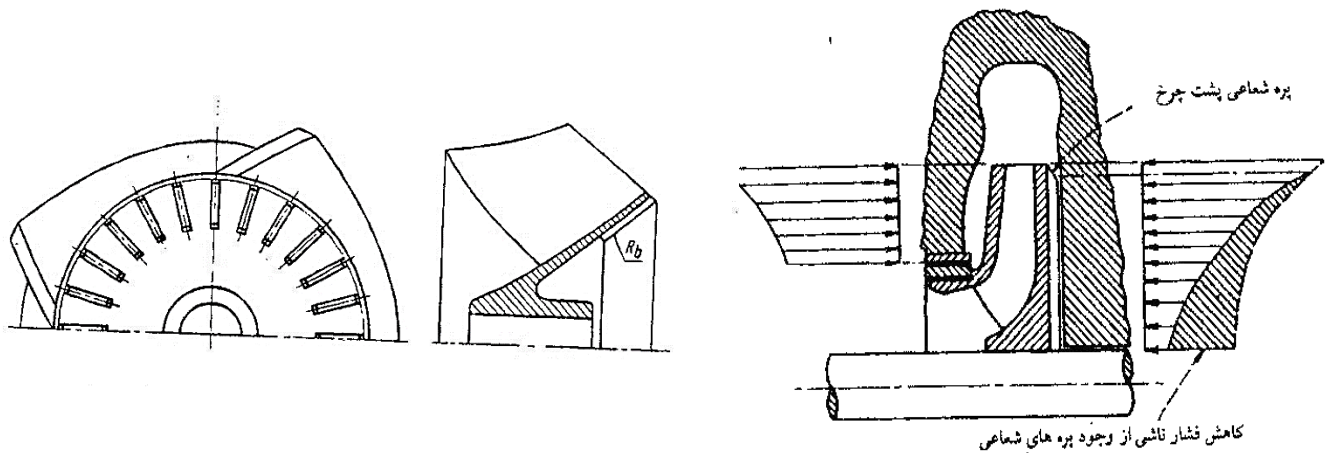
Slide#18- Turbomachinery Course- PUMP-AXIAL & RADIAL FORCES



نیروهای محوری وارد بر چرخ

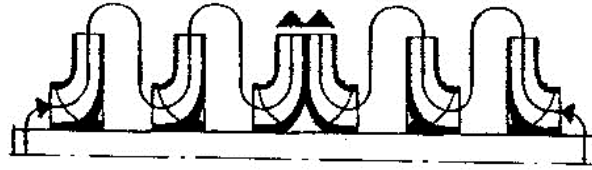


کاهش نیروهای محوری وارد بر چرخ از طریق اتاق تعادلی با ایجاد سوراخ در چرخ و لوله رابط

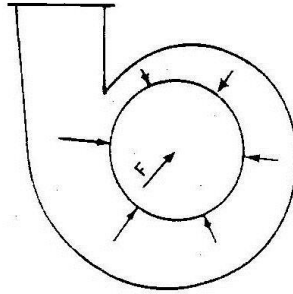


کاهش نیروهای محوری وارد بر چرخ از طریق پره های شعاعی در پشت چرخ

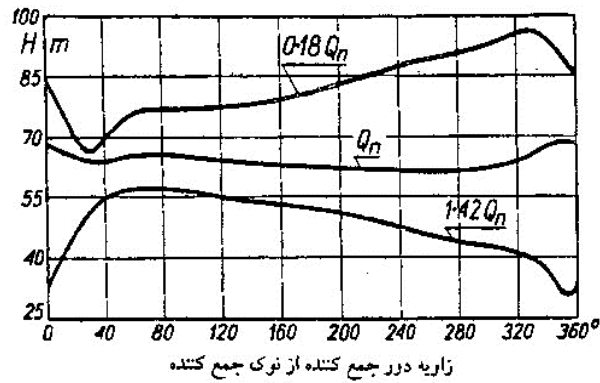
Slide#19- Turbomachinery Course- PUMP-AXIAL & RADIAL FORCES



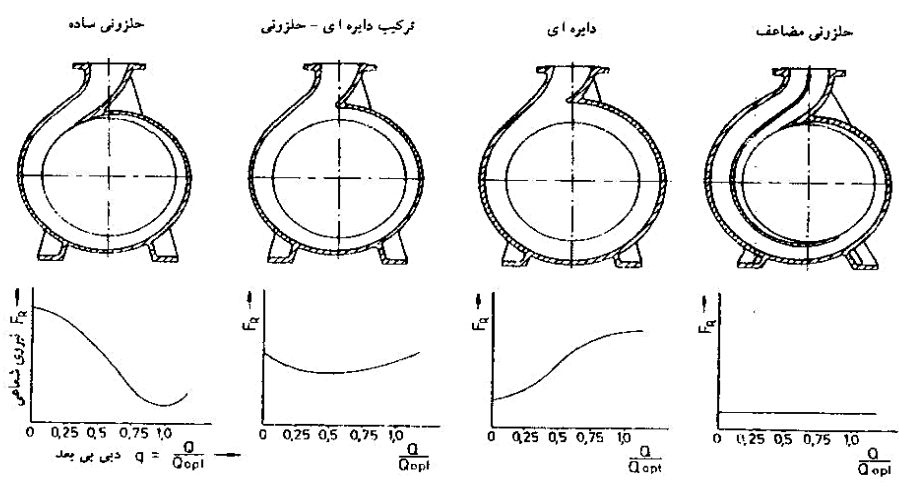
کاهش نیروهای محوری وارد بر پمپ چند طبقه از طریق چیدمان چرخ ها



نیروی شعاعی وارد بر چرخ

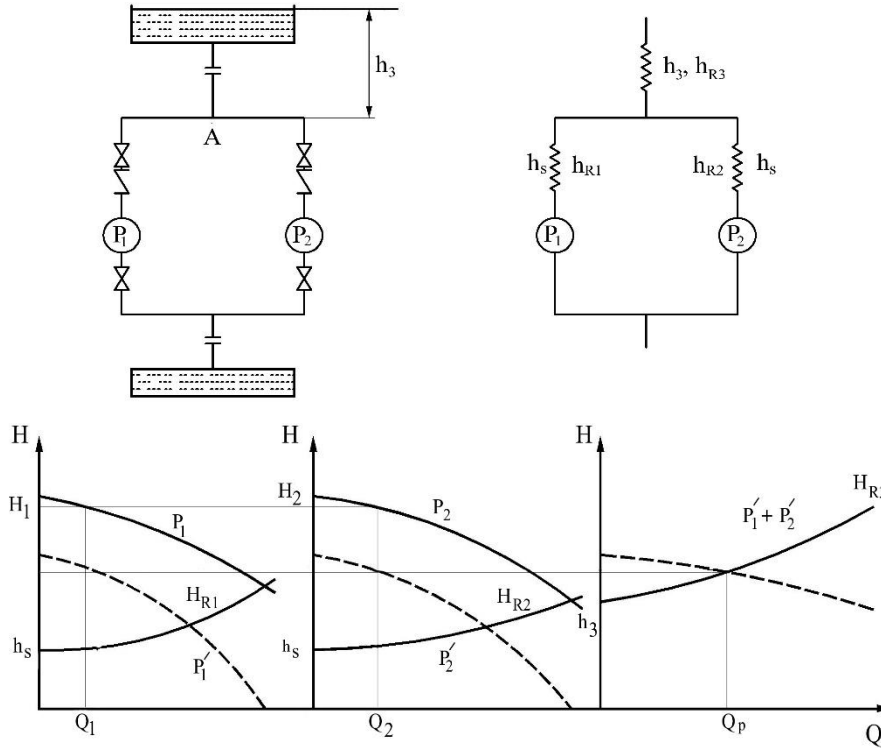


تغییرات فشار استاتیک پیرامون چرخ

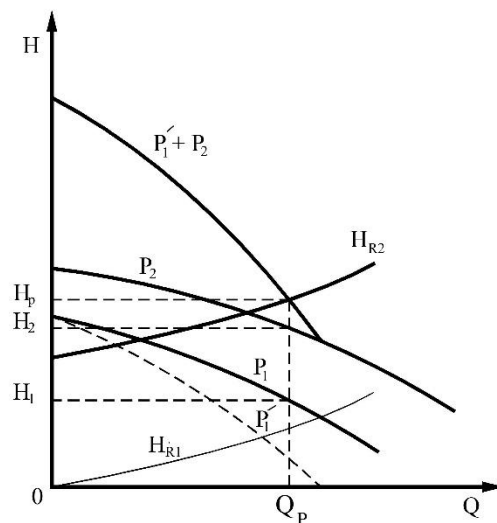
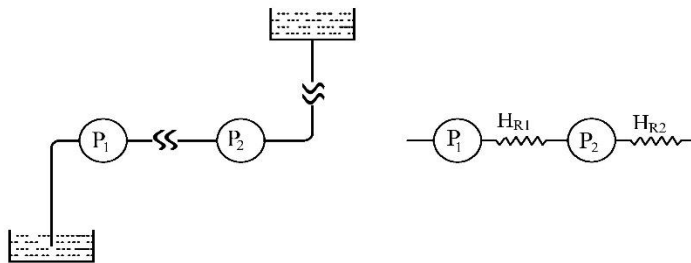


تاثیر شکل حلقونی بر نیروی شعاعی

دو پمپ موازی در مداری با افت فشار:

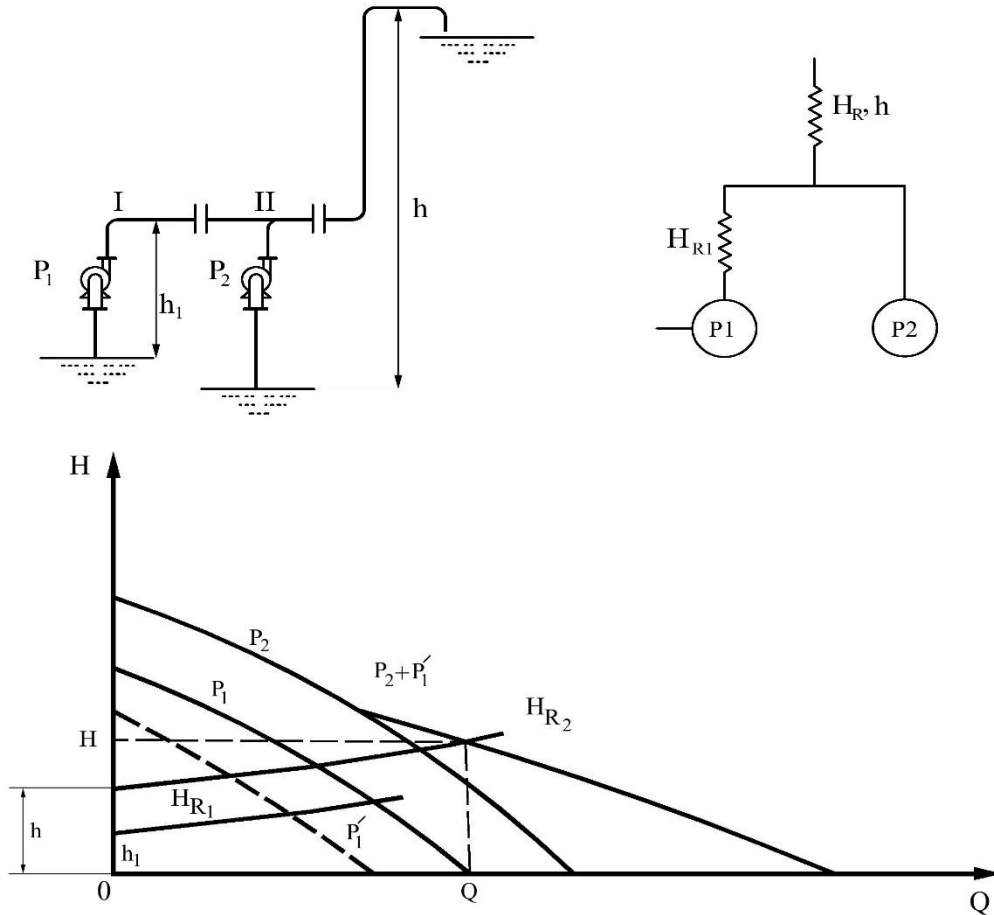


کارکرد دو پمپ بطور سری، هنگامیکه بین آنها مقاومت وجود داشته باشد:

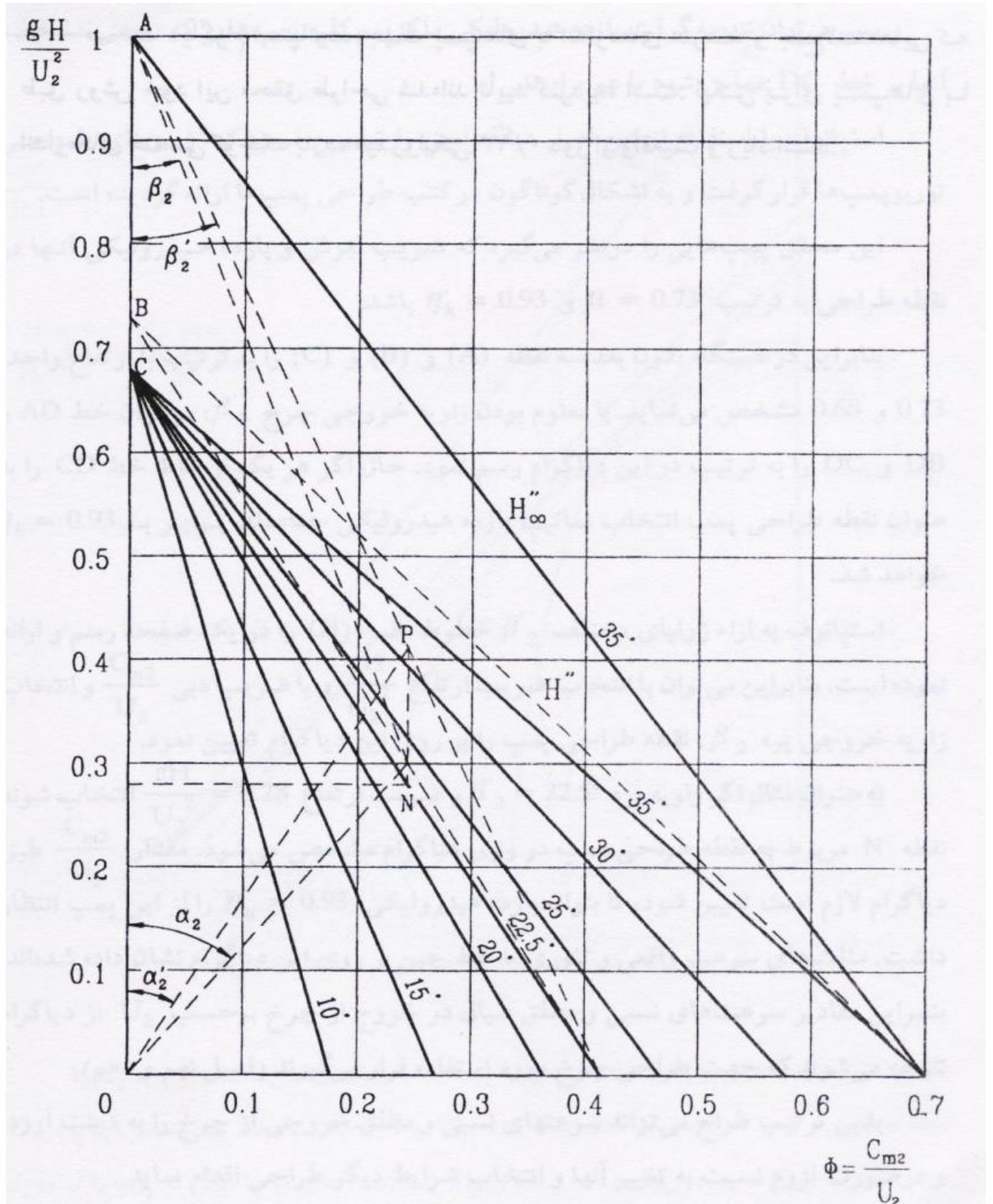


Slide#21- Turbomachinery Course- PUPM & SYSTEM


کار دو پمپ به صورت موازی، هنگامی که در فاصله دور از یکدیگر قرار گرفته باشند:

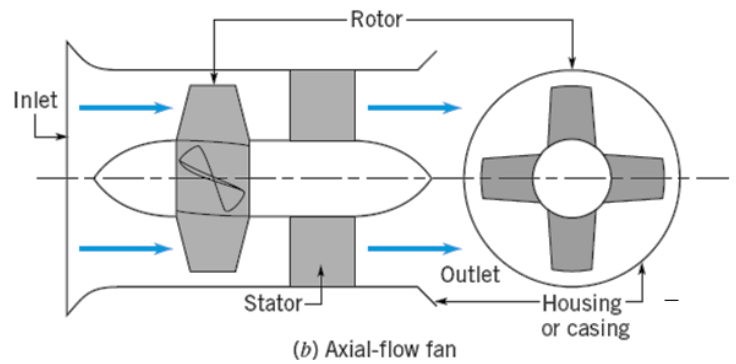
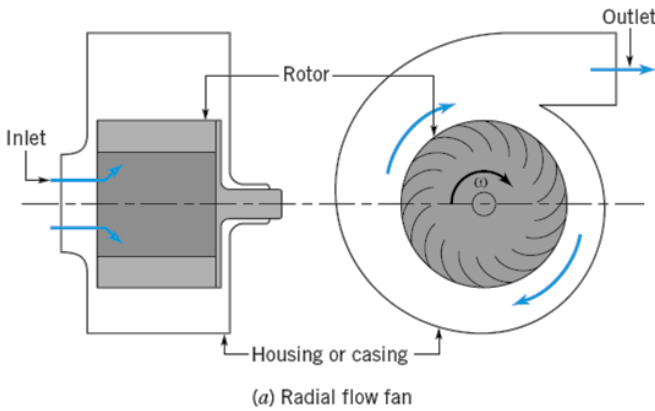



Slide#22- Turbomachinery Course- PUPM DESIGN

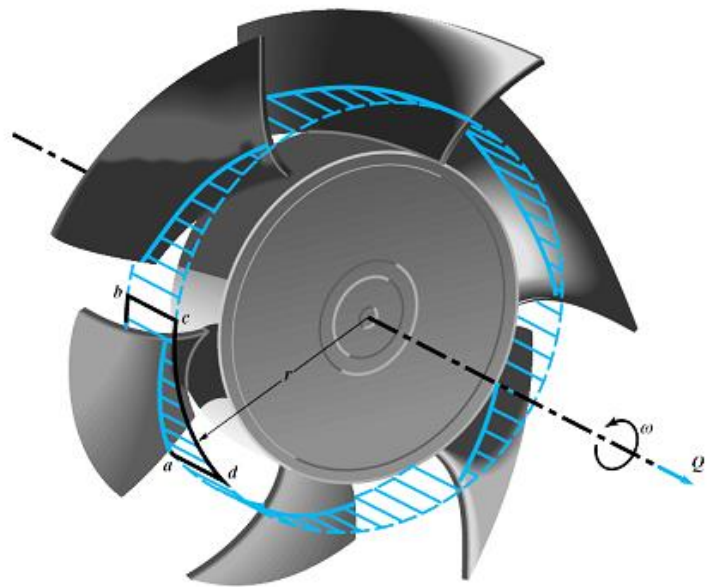
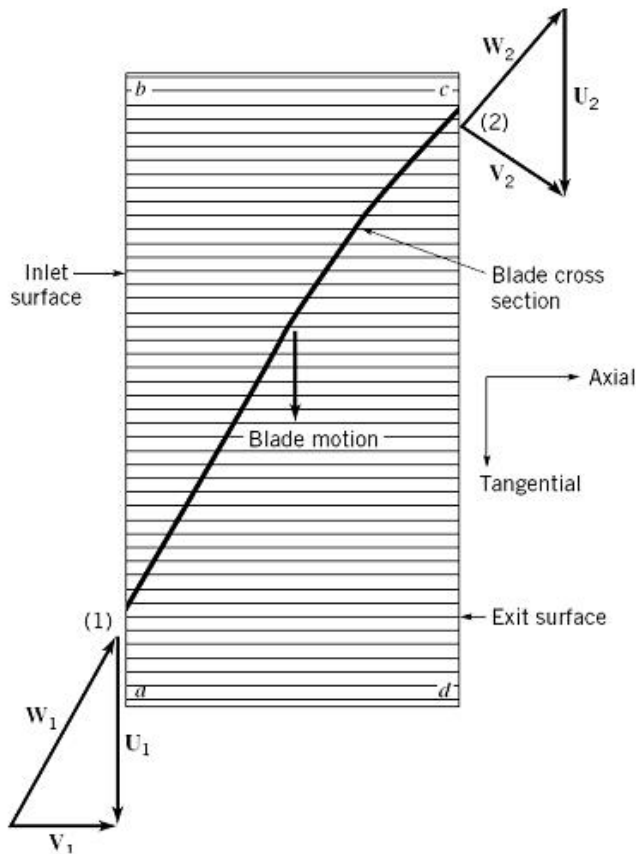


Slide#24- Turbomachinery Course- FANS/ CLASSIFICATION

انواع فن: 



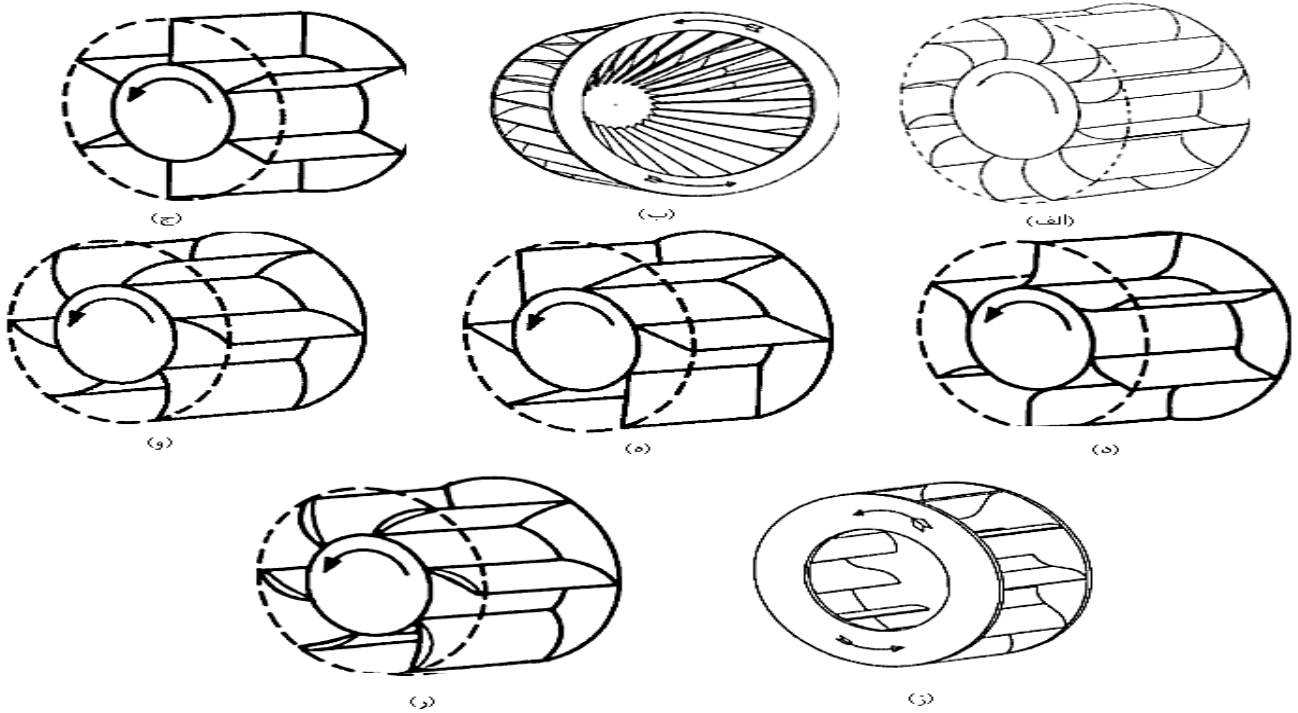
پروفیل سرعت در یک فن محوری: 



Slide#25- Turbomachinery Course- FANS/ CLASSIFICATION

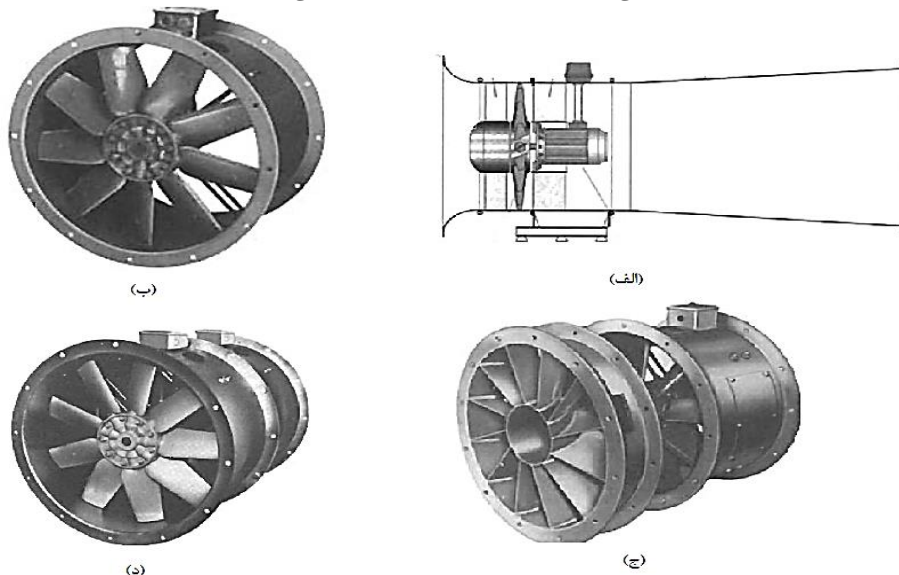
فن های سانتریفوژ:

(۱) پروانه با پره های با انحنا رو به جلو (الف)، (۲) پروانه با پره های با انحنا رو به جلوی عمیق (ب)، (۳) پره های شعاعی (ج)، (۴) پره های با نوک شعاعی (د)، (۵) پره های صاف رو به عقب (ه)، (۶) پره های با انحنا رو به عقب (و)، (۷) پره های با انحنا معکوس که این پره ها دارای انحنا رو به عقب در محل نوک پره و انحنا رو به جلو در محل هاب (ز)، (۸) پره های ایرفویل رو به عقب (ر)

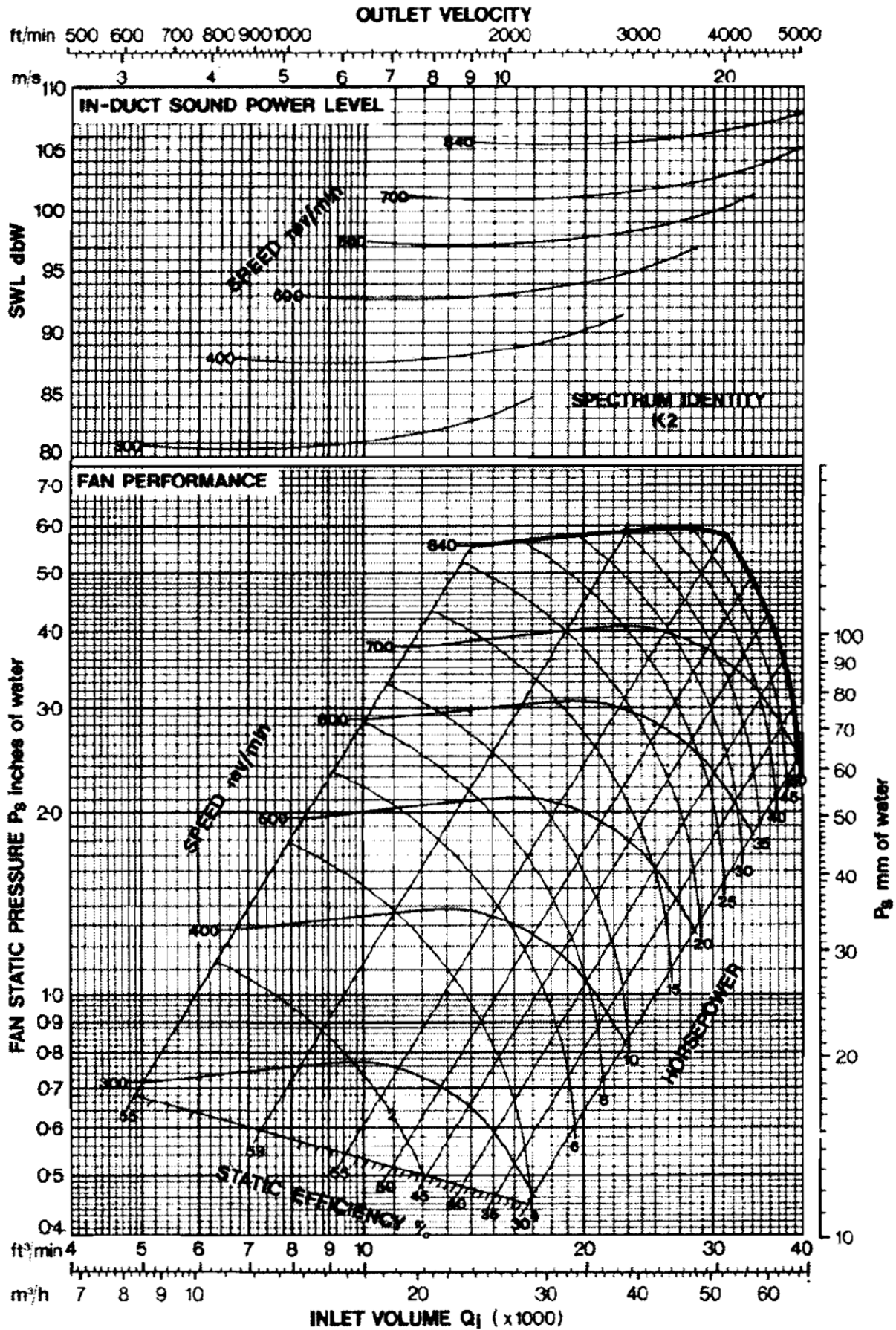


فن های محوری:

(۱) فن های محوری کانالی (Ducted Axial Fans) (الف)، (۲) فن های محوری لوله ای (Tube Axial Fans) که از دو قسمت اصلی پروانه و محفظه تشکیل شده اند و حاوی پره های هادی نمی باشند شکل (ب) (۳) فن های محوری با پره های هادی (Vane Axial Fan) که پره های هادی در پایین دست، بالا دست و یا هر دو نصب می شوند. پره های هادی جهت استحصال انرژی چرخشی سیال و افزایش راندمان فن نصب می شوند شکل (ج) (۴) فن های محوری با دو پروانه و جهت چرخش متفاوت، این نوع از فن های محوری از دو پروانه مجزا که همواره با دو موتور در جهت های مختلف دوران می کنند، تشکیل شده اند. بدین وسیله جریان چرخشی تولید شده توسط پروانه اول، بوسیله پروانه دوم از بین می رود. همچنین انرژی جریان چرخشی استحصال و به فشار استاتیک تبدیل می شود شکل (د)



Slide#26- Turbomachinery Course- FANS/ CHARACTERISTIC CURVES



Slide#27- Turbomachinery Course- FANS/ CHARACTERISTIC CURVES

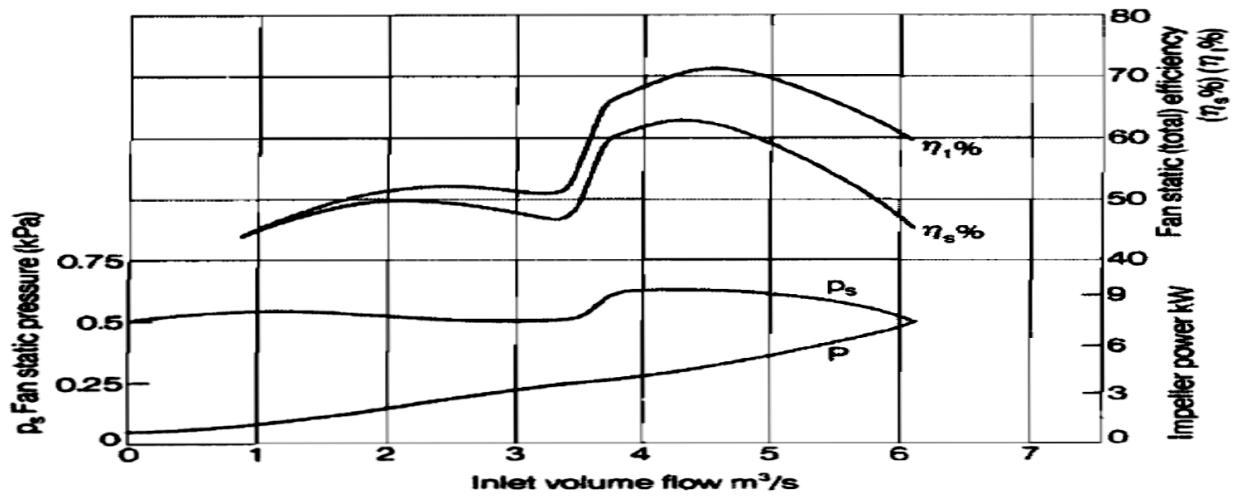


Figure 1.61 Forward curved fan — typical characteristic curves

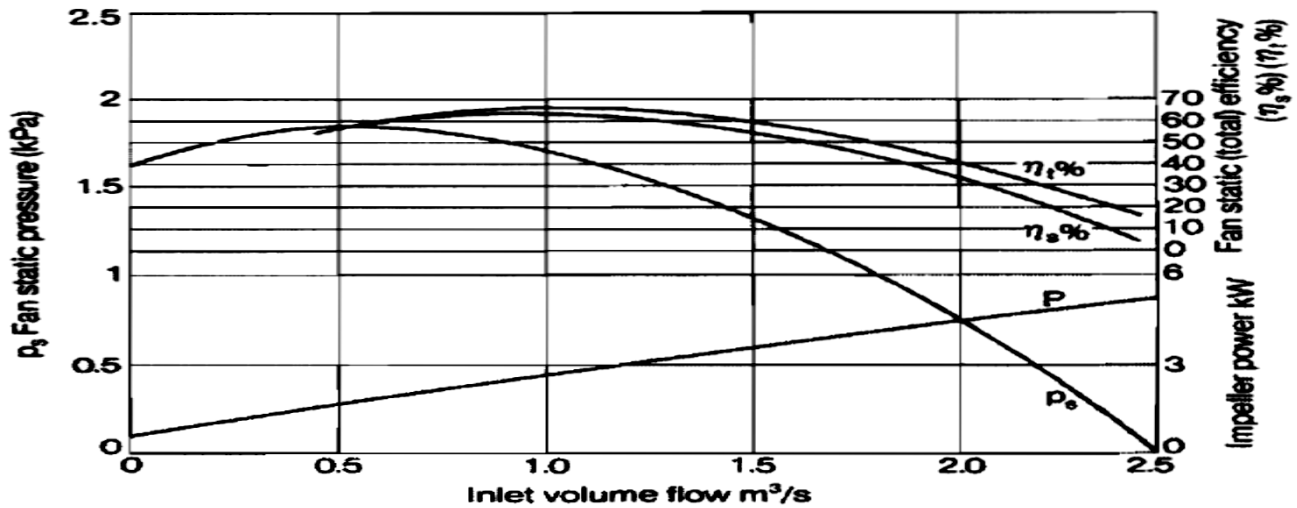


Figure 1.65 Shrouded radial fan — typical characteristic curves

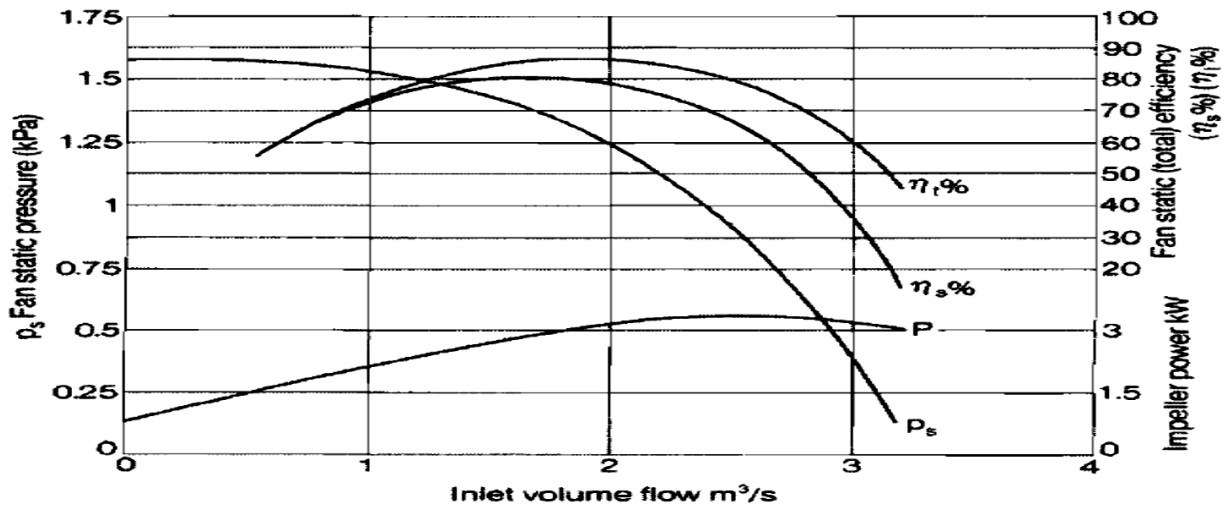
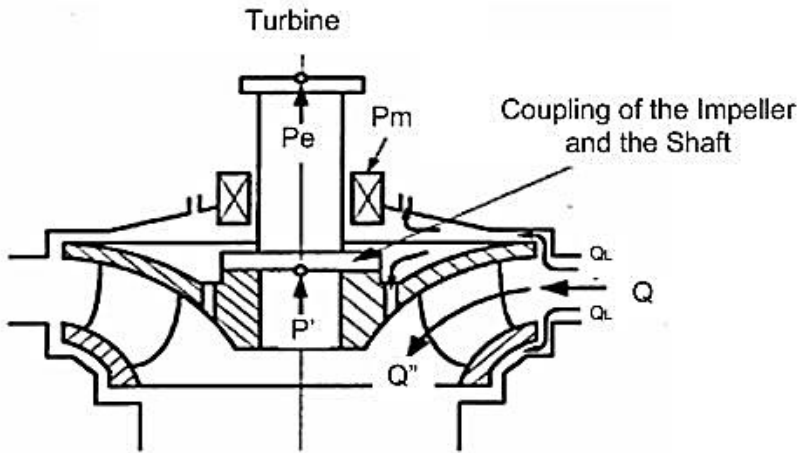


Figure 1.73 Backward curved fan — typical characteristic curves

Slide#28- Turbomachinery Course- TURBINE/ LOSSES



$$Q = Q'' + Q_L$$

$$P = E \cdot (\rho Q)$$

$$P_s = P' - P_m$$

$$P'' = P' + P_D$$

$$\eta_V = \frac{Q''}{Q} = \frac{Q''}{Q'' + Q_L}$$

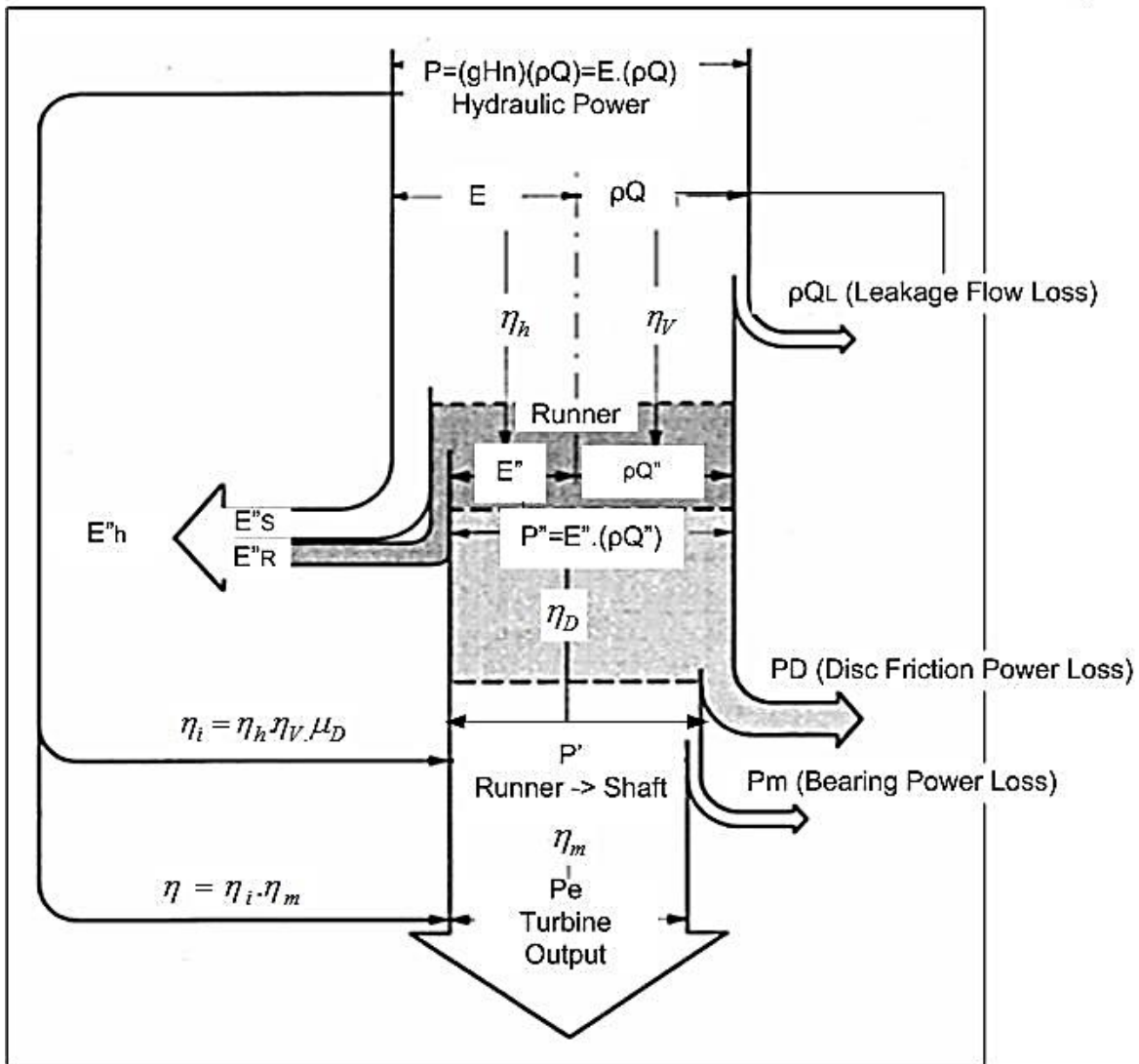
$$\eta_h = \frac{E''}{E}$$

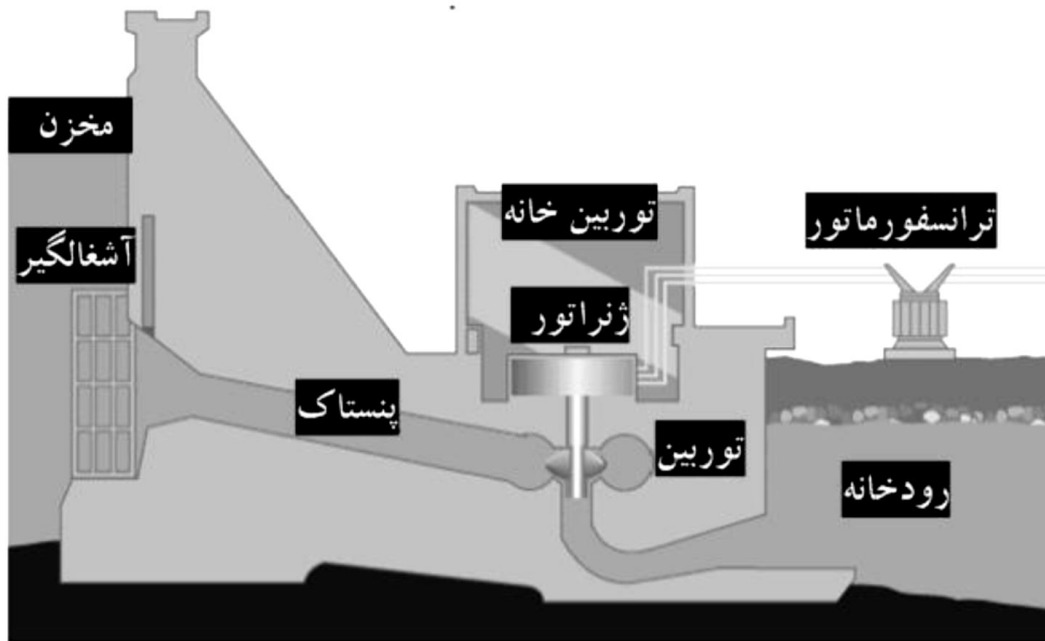
$$\eta_D = \frac{P'}{P''} = \frac{P'}{P' + P_D}$$

$$\eta_m = \frac{P_s}{P'} = \frac{P_s}{P_s + P_m}$$

$$\eta_i = \eta_h \cdot \eta_V \cdot \eta_D = \frac{P'}{P}$$

$$\eta = \eta_i \cdot \eta_m = \frac{P_s}{P}$$





شکل ۹-۲- اجزاء یک نیروگاه آبی

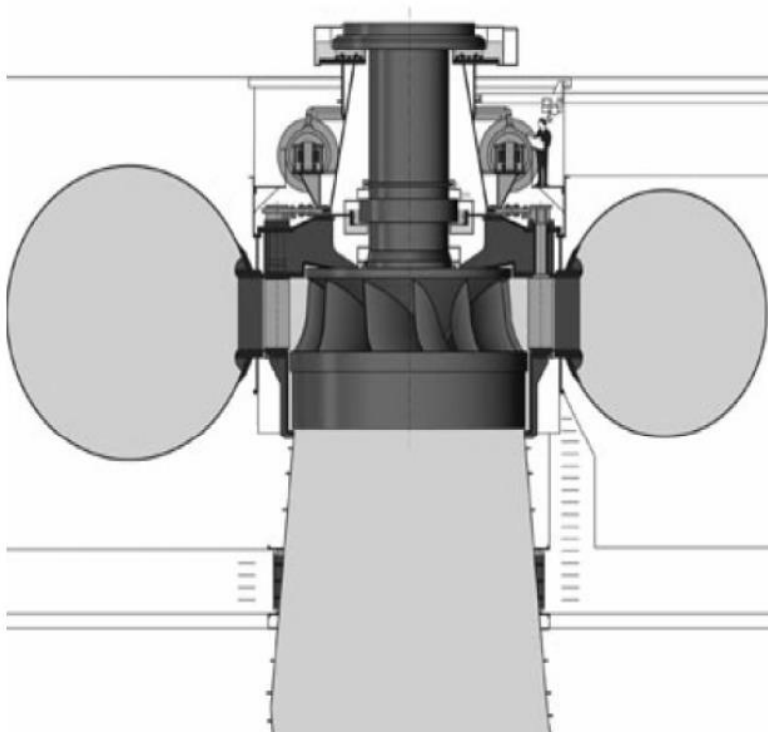
جدول ۳-۲- مشخصات چند نیروگاه آبی کشور با ظرفیت بالای ۱۰۰ مگاوات

نام نیروگاه	نوع توربین	ظرفیت (مگاوات)	محل جغرافیائی
دز	فرانسیس	۵۲۰	خوزستان - رودخانه دز
سیاه بیشه (تلمبه- ذخیره‌ای)	فرانسیس	۱۰۰۰	مازندران - سیاه بیشه
سیمره	فرانسیس	۴۸۰	ایلام - رودخانه سیمره
شهید عباسپور	فرانسیس	۱۰۰۰	خوزستان - رودخانه کارون
کارون ۱	فرانسیس	۱۰۰۰	خوزستان - رودخانه کارون
کارون ۳	فرانسیس	۲۰۰۰	خوزستان - رودخانه کارون
کارون ۴	فرانسیس	۱۰۰۰	چهارمحال و بختیاری - رودخانه کارون
کرخه	فرانسیس	۴۰۰	خوزستان - رودخانه کرخه
گتوند علیا	فرانسیس	۲۰۰۰	خوزستان - رودخانه کارون
مارون	فرانسیس	۱۵۰	خوزستان - رودخانه مارون
مسجد سلیمان	فرانسیس	۲۰۰۰	خوزستان - رودخانه کارون

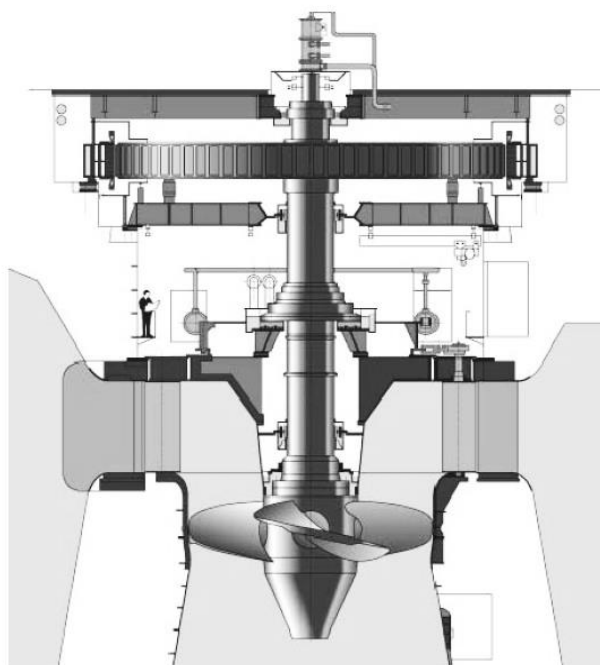
تقسیم بندی نیروگاههای آبی کوچک

نوع نیروگاه	قدرت تولیدی (کیلووات)
نیروگاه آبی ریز (micro)	تا ۵۰
نیروگاه آبی خیلی کوچک (mini)	۵۰ تا ۵۰۰
نیروگاه آبی کوچک (small)	۵۰۰ تا ۵۰۰۰
نیروگاه آبی متوسط (medium)	۵۰۰۰ تا ۵۰۰۰۰
نیروگاه آبی بزرگ (Large)	>۵۰۰۰۰

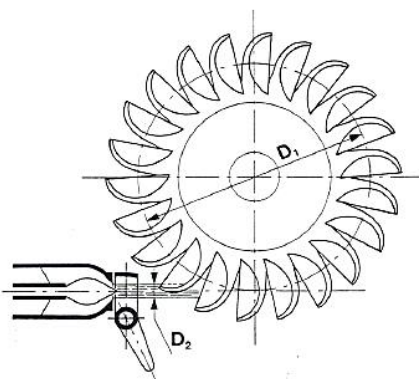
توربین فرانسسیس



توربین کاپلان



توربین پلتون



شکل ۱-۲ - شکل شماتیک قسمت‌های اصلی توربین پلتون [۴]



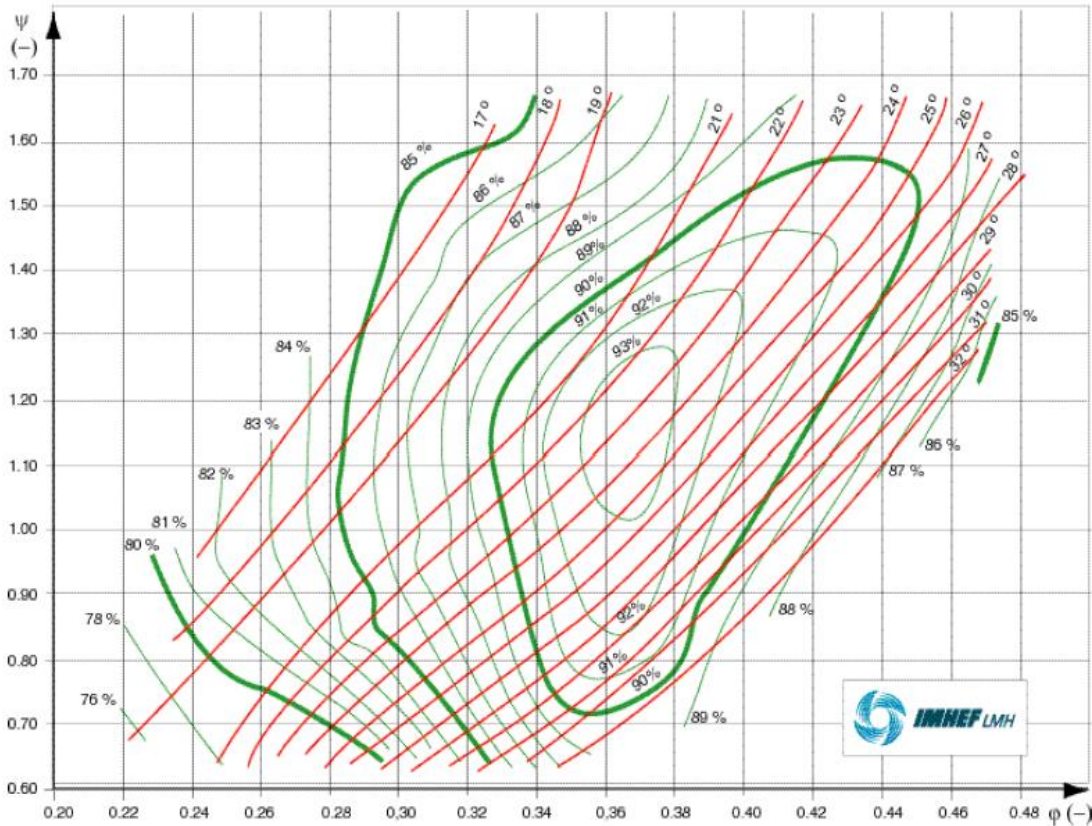
شکل ۲-۲ - شکل چرخ و انژکتور توربین پلتون [۵]

Slide#32- Turbomachinery Course- TURBINES/ SPECIFIC SPEED

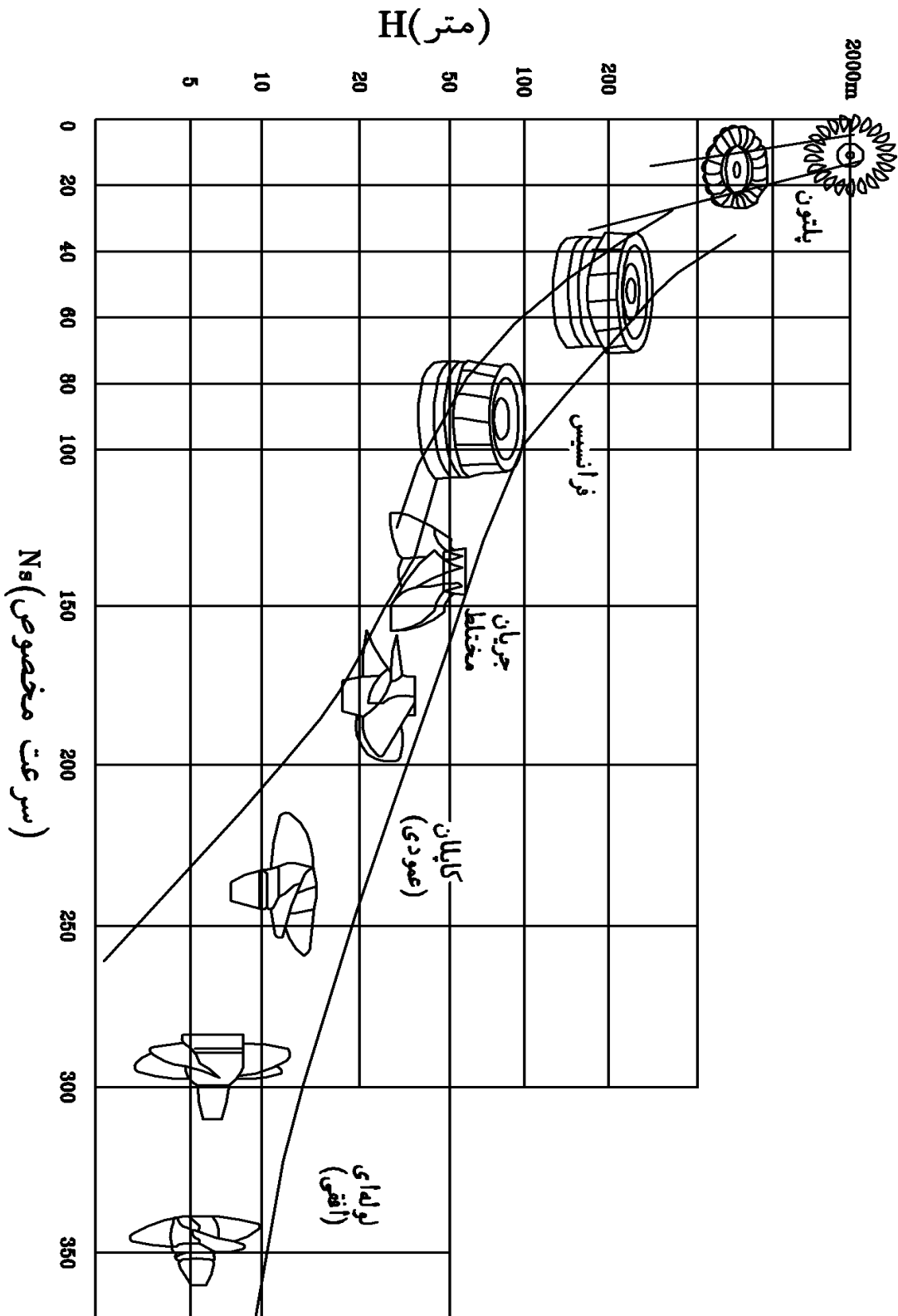
سرعت مخصوص (Ns)

نوع توربین	کند	متوسط	تند
پلتون	۱۵-۴	۳۰-۱۶	۷۰-۳۱
فرانسیس	۱۵۰-۶۰	۲۵۰-۱۵۱	۴۰۰-۲۵۱
کاپلان	۴۵۰-۳۰۰	۷۰۰-۴۵۱	۱۱۰۰-۷۰۱

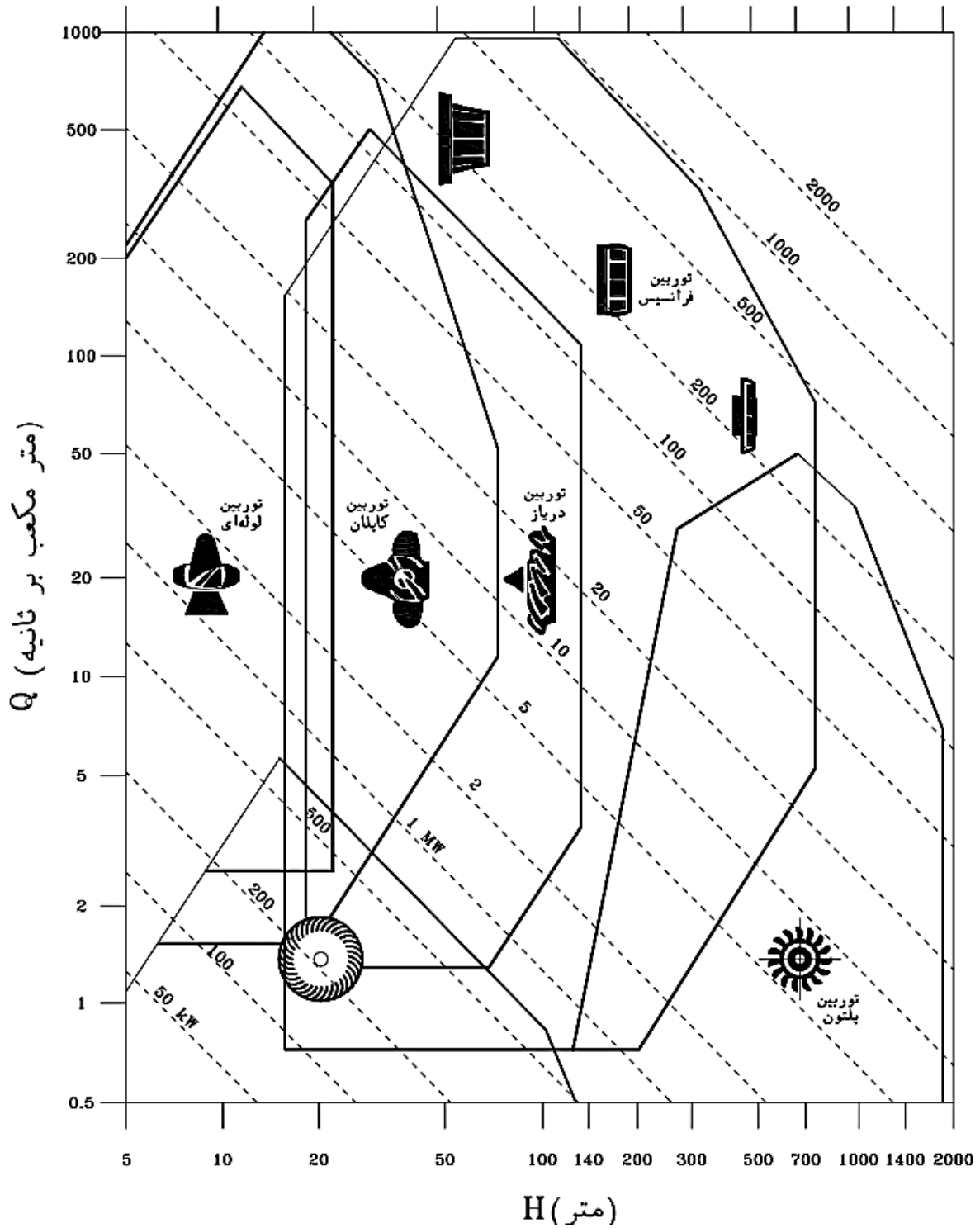
منحنی های مشخصه



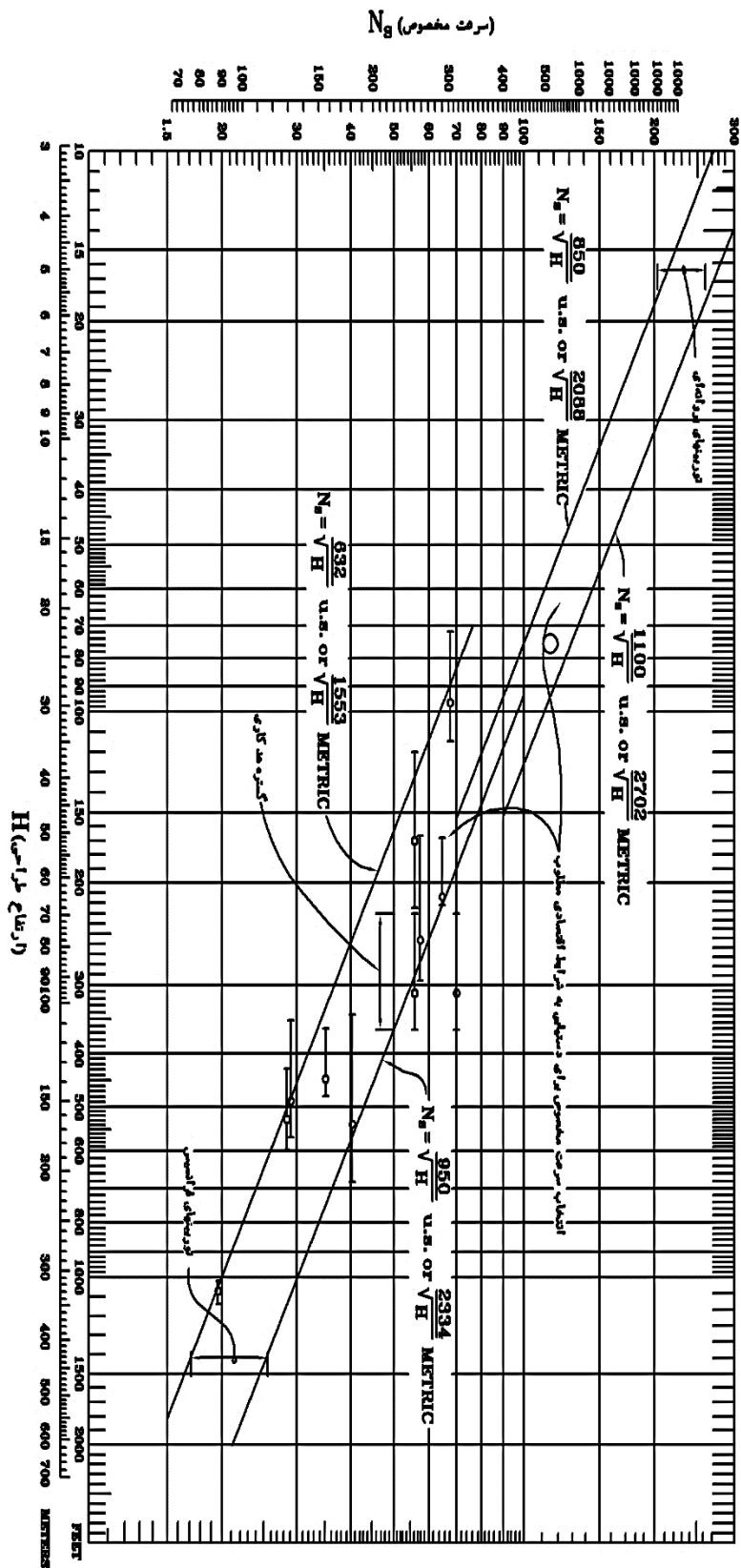
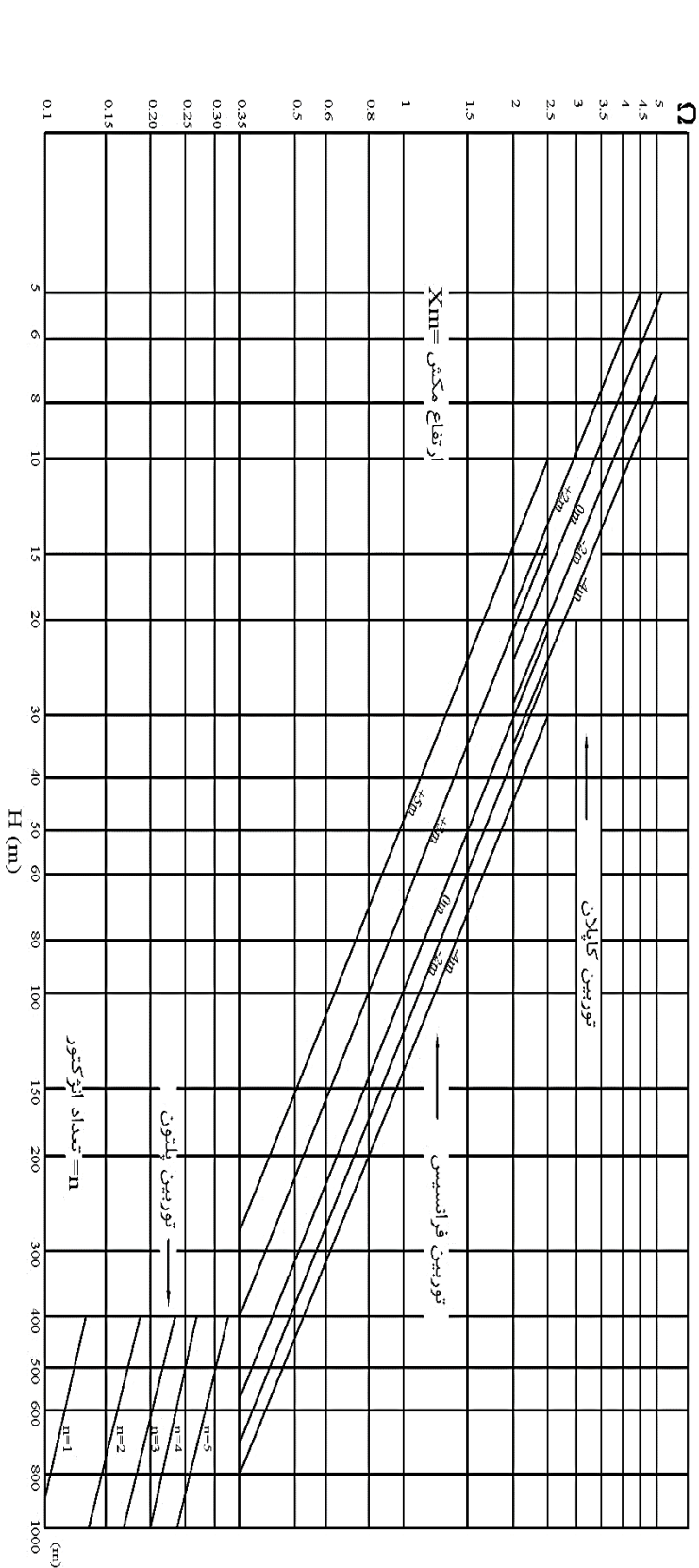
Slide#33- Turbomachinery Course- TURBINES/ SPECIFIC SPEED



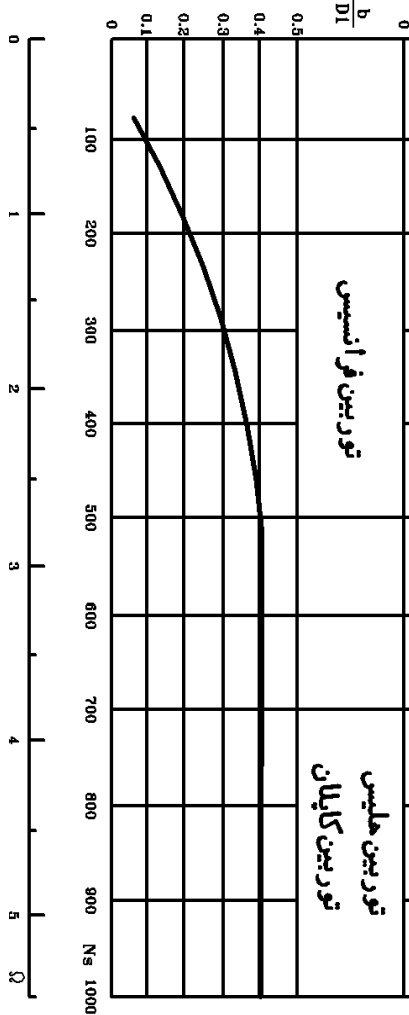
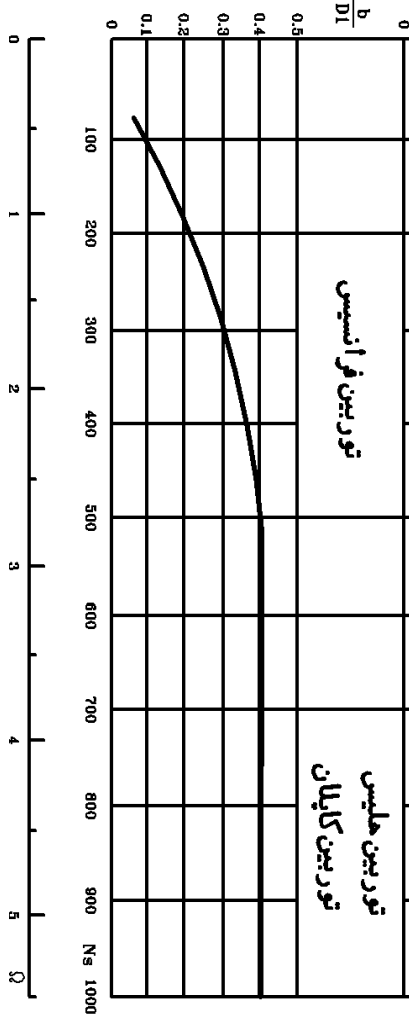
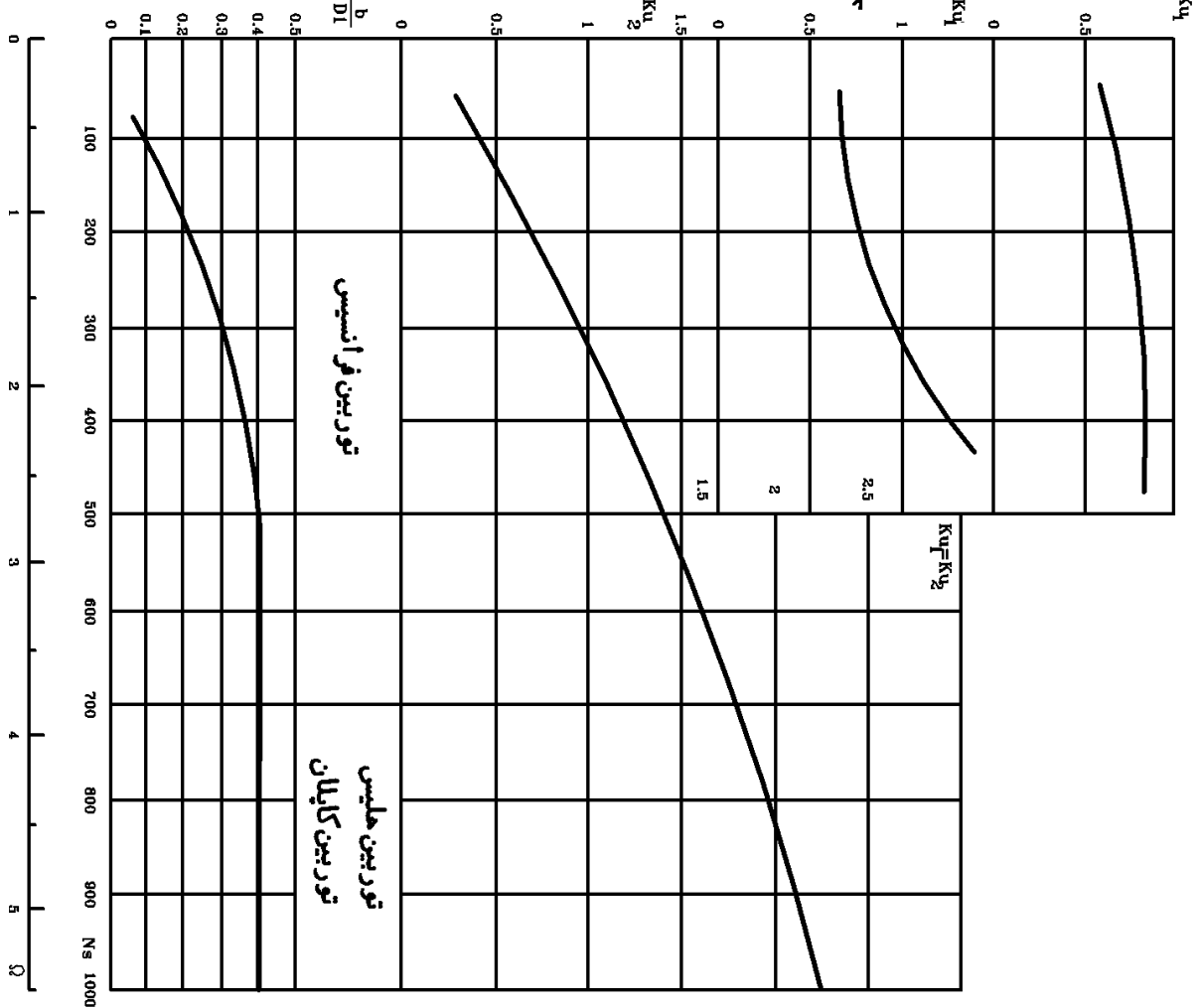
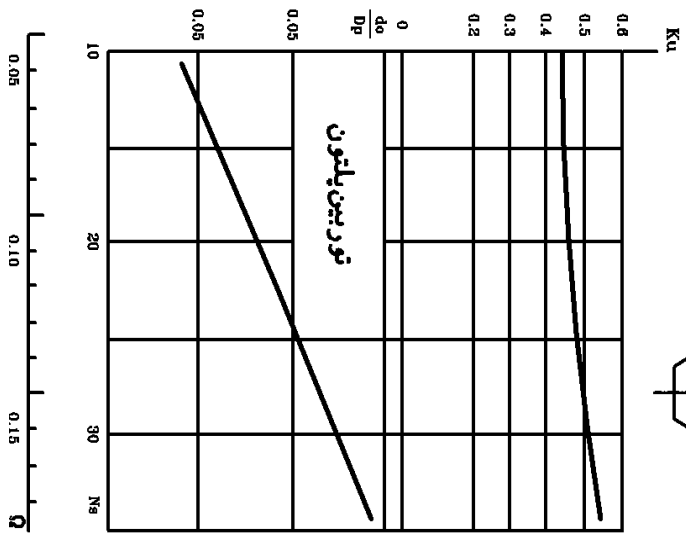
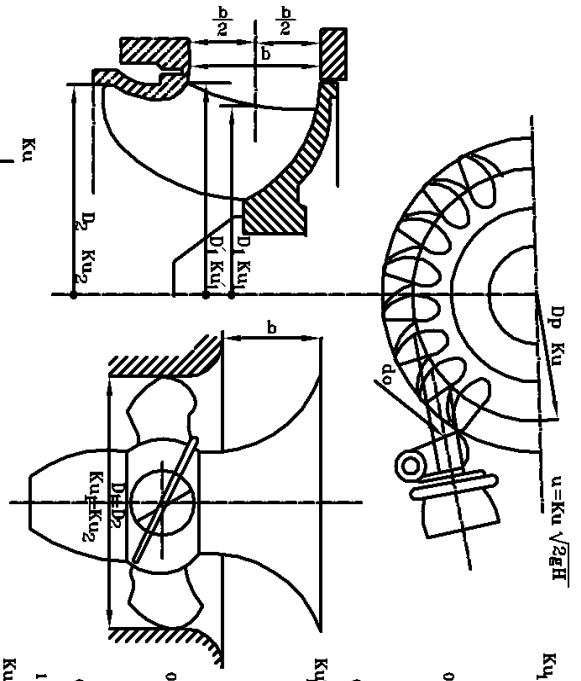
Slide#34- Turbomachinery Course- TURBINES/ SELECTION & DESIGN



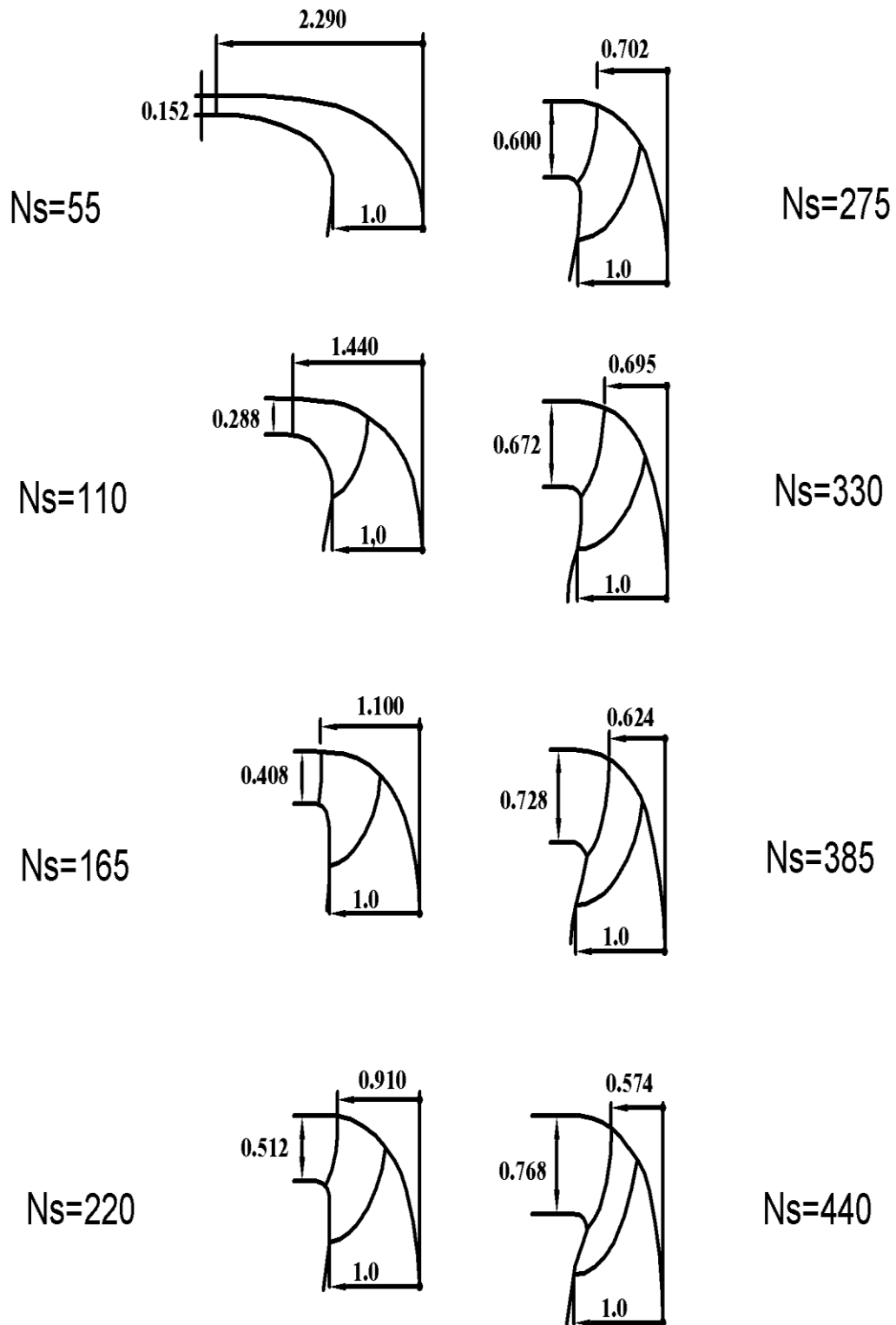
Slide#35- Turbomachinery Course- TURBINES/ SELECTION & DESIGN



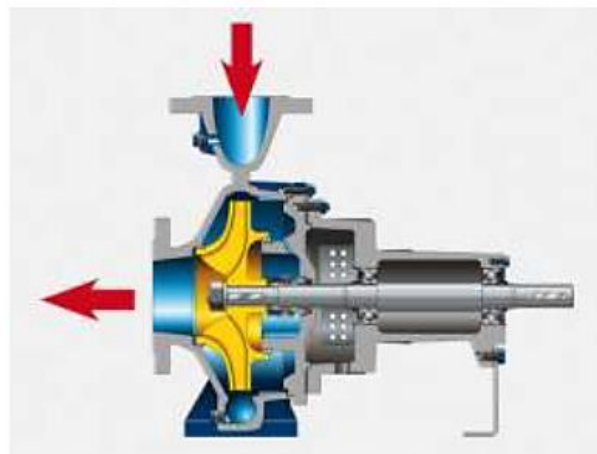
Slide#36- Turbomachinery Course- TURBINES/ SELECTION & DESIGN



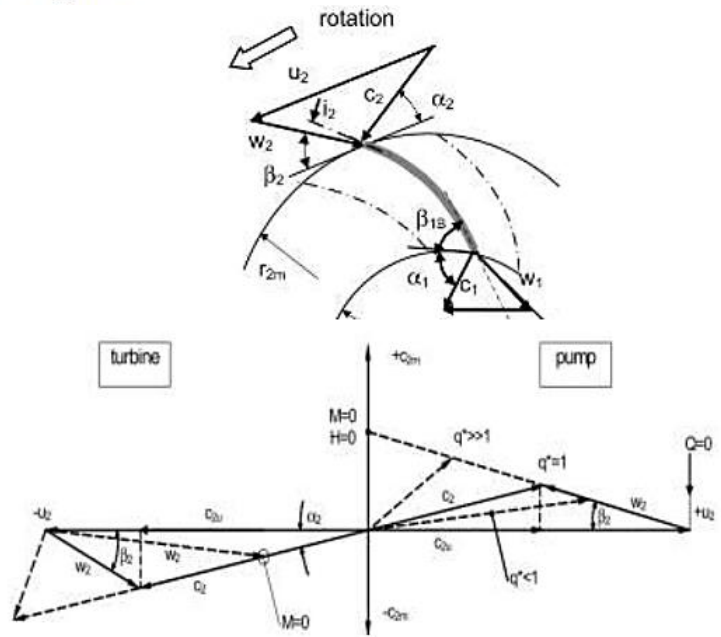
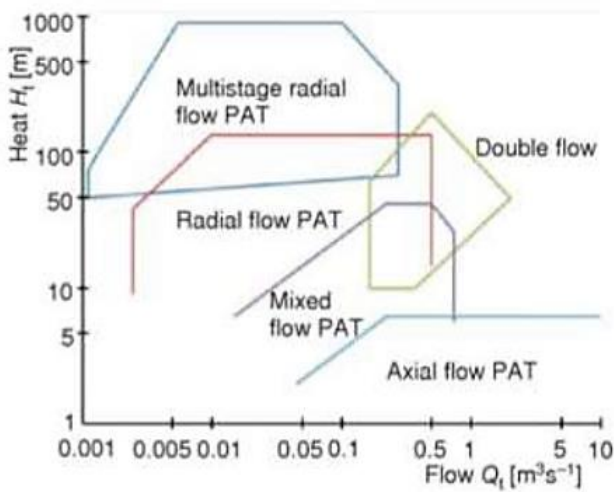
Slide#37- Turbomachinery Course- TURBINES/ SELECTION & DESIGN



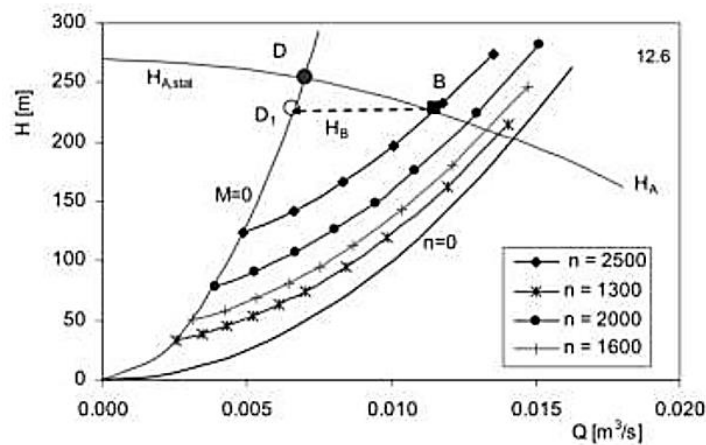
Slide#38- Turbomachinery Course- Pump as Turbine (PAT)



شماتیک PAT



چارت انتخاب و مثلث سرعت در PAT



منحنی مشخصه PAT و سیستم

Slide#39- Turbomachinery Course- Pump As Turbine (PAT)

Table 12.1 Turbine characteristics. NOTE: n_q with [rpm], [m ³ /s], [m]			Eq.
Flow rate at BEP in turbine mode to flow at pump BEP	$\frac{Q_{opt,T}}{Q_{opt,P}} = \frac{1}{\eta_{opt,P}^{0.8}}$		12.1.1
Head at BEP in turbine mode to head at pump BEP	$\frac{H_{opt,T}}{H_{opt,P}} = \frac{1}{\eta_{opt,P}^{1.2}}$	$12 < n_q < 190$	12.1.2
Specific speed in turbine mode to pump specific speed	$\frac{n_{q,T}}{n_{q,P}} = 0.95 \sqrt{\eta_{opt,P}}$	[12.1]	12.1.3
Flow rate at BEP in turbine mode to flow at pump BEP	$\frac{Q_{opt,T}}{Q_{opt,P}} = \frac{2.5}{\eta_{h,opt,P}} - 1.4 \pm 7\%$	volute pumps	12.1.4
Head at BEP in turbine mode to head at pump BEP	$\frac{H_{opt,T}}{H_{opt,P}} = \frac{2.4}{\eta_{h,opt,P}^2} - 1.5 \pm 14\%$	$8 < n_q < 70$	12.1.5
Specific speed in turbine mode to pump specific speed	$\frac{n_{q,T}}{n_{q,P}} = 1.3 \eta_{opt,P} - 0.3 \pm 10\%$	The scatter approximately represents the standard deviation	12.1.6
Efficiency at BEP in turbine mode to efficiency at pump BEP	$\frac{\eta_{opt,T}}{\eta_{opt,P}} = 1.16 - \frac{n_{q,P}}{200} \pm 5\%$	[12.4]	12.1.7
Runaway speed ($M=0$) referred to pump speed	$\frac{n_L}{n_N} = \left(\frac{n_{q,P}}{12}\right)^{0.19} \left(\frac{H}{H_{opt,P}}\right)^{0.5}$	from data in [12.5] and [B.18]	12.1.8
Flow rate at runaway ($M=0$); referred to turbine	$\frac{Q_L}{Q_{opt,T}} = 0.3 + \frac{n_{q,P}}{400}$	acc. to [12.9]	12.1.9
Head at runaway ($M=0$); referred to turbine	$\frac{H_L}{H_{opt,T}} = 0.55 - 0.002 n_{q,P}$	from data in [12.3] and [12.5]	12.1.10
Flow rate at runaway ($M=0$); referred to pump	$\frac{Q_L}{Q_{opt,P}} = 0.45 + \frac{n_{q,P}}{150}$		12.1.11
Head at runaway ($M=0$); referred to pump	$\frac{H_L}{H_{opt,P}} = \left(\frac{12}{n_{q,P}}\right)^{0.38} \left(\frac{n}{n_N}\right)^2$	from data in [12.15] and [12.5]	12.1.12
Flow rate at locked rotor ($n=0$) referred to pump	$\frac{Q_w}{Q_{opt,P}} = \left(\frac{41}{n_{q,P}}\right)^{0.28} \left(\frac{H}{H_{opt,P}}\right)^{0.5}$	$n_q < 180$	12.1.13
Torque at locked rotor ($n=0$) referred to pump	$\frac{M_w}{M_{opt,P}} = \left(\frac{120}{n_{q,P}}\right)^{0.22} \frac{H}{H_{opt,P}}$		12.1.14
Turbine characteristic	$H_T = H_{opt,T} - \frac{H_{opt,T} - H_{L,N}}{Q_{opt,T}^2 - Q_{L,N}^2} (Q_{opt,T}^2 - Q_T^2)$		12.1.15
Required NPSH _R of a turbine	$NPSH_R = 0.1 H_{T,st} \left(\frac{n_{q,T}}{45}\right)^{1.5}$		12.1.16

Slide#40- Turbomachinery Course- WIND TURBINES

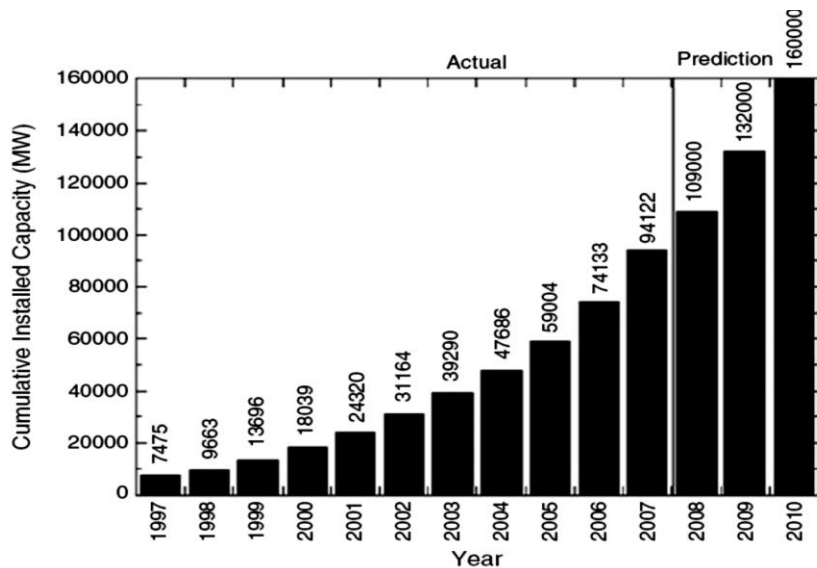


FIG 1. Projected increase in world wind power installed capacity

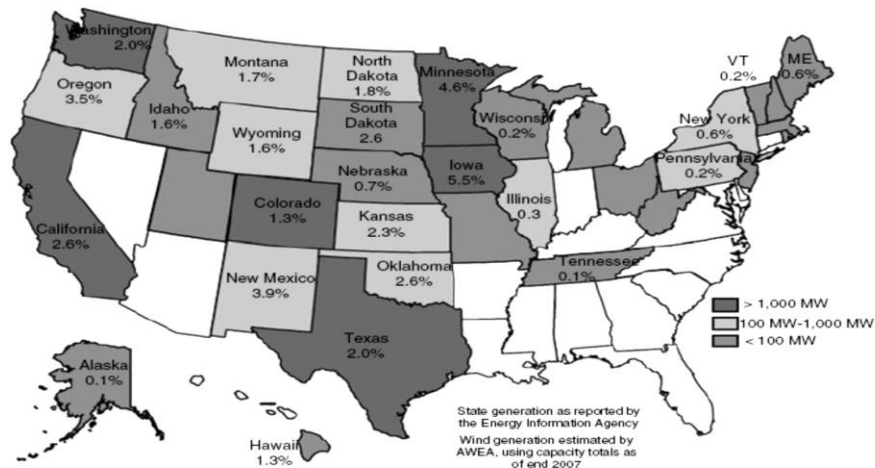



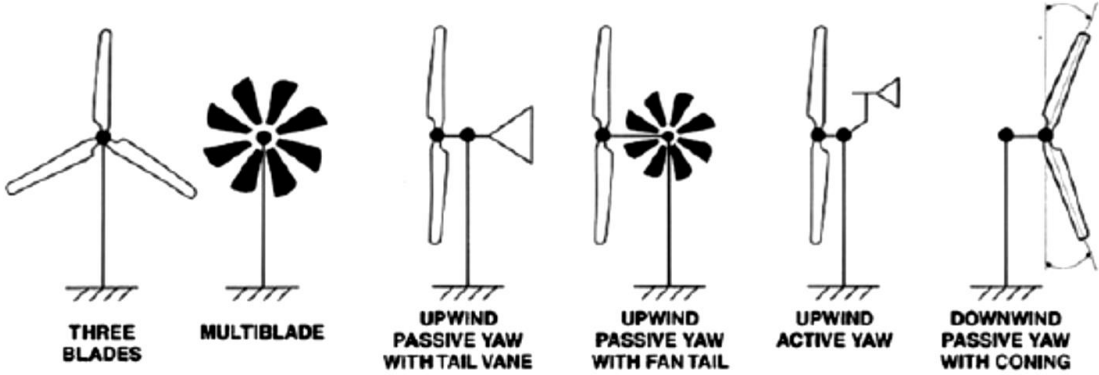


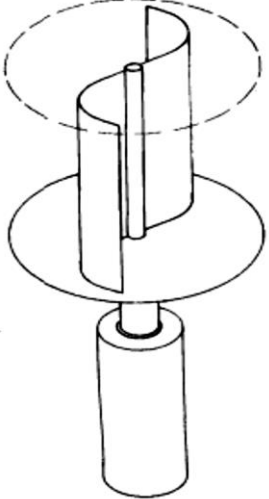


FIG 2. Percentage of electricity produced from wind energy by various states in the USA

	Investment (1000€/MW)	Share (%)
Turbine (ex works)	928	75.6
Foundation	80	6.5
Electric installation	18	1.5
Grid-connection	109	8.9
Control systems	4	0.3
Consultancy	15	1.2
Land	48	3.9
Financial costs	15	1.2
Road	11	0.9
Total	1227	100

TABLE 1. Cost structure (in €) of a typical 2MW wind turbine based on selected data for European wind turbine installations (2006)

Slide#41- Turbomachinery Course- WIND TURBINES

<p>HAWT</p>						
<p>HAWT</p>	 <div style="display: flex; justify-content: space-around; text-align: center;"> <div data-bbox="310 1020 505 1360"> <p>THREE BLADES</p> </div> <div data-bbox="505 1066 634 1318"> <p>MULTIBLADE</p> </div> <div data-bbox="683 1020 841 1367"> <p>UPWIND PASSIVE YAW WITH TAIL VANE</p> </div> <div data-bbox="889 1020 1024 1367"> <p>UPWIND PASSIVE YAW WITH FAN TAIL</p> </div> <div data-bbox="1073 1020 1203 1346"> <p>UPWIND ACTIVE YAW</p> </div> <div data-bbox="1235 995 1403 1367"> <p>DOWNWIND PASSIVE YAW WITH CONING</p> </div> </div>					
<p>VAWT</p>						

How a wind turbine comes together

A typical wind turbine will contain up to 8,000 different components. This guide shows the main parts and their contribution in percentage terms to the overall cost. Figures are based on a REpower MM92 turbine with 45.3 metre length blades and a 100 metre tower.



Tower 26.3%

Range in height from 40 metres up to more than 100 m. Usually manufactured in sections from rolled steel, a lattice structure or concrete are cheaper options.



Rotor blades 22.2%

Varying in length up to more than 60 metres, blades are manufactured in specially designed moulds from composite materials, usually a combination of glass fibre and epoxy resin. Options include polyester instead of epoxy and the addition of carbon fibre to add strength and stiffness.



Rotor hub 1.37%

Made from cast iron, the hub holds the blades in position as they turn.



Rotor bearings 1.22%

Some of the many different bearings in a turbine, these have to withstand the varying forces and loads generated by the wind.



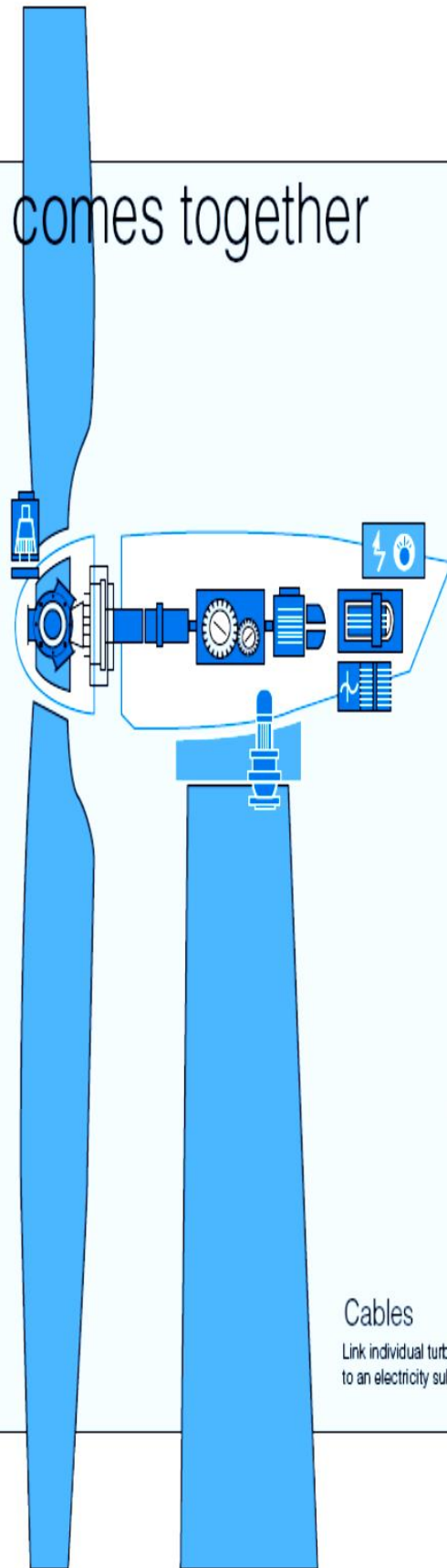
Main shaft 1.91%

Transfers the rotation force of the rotor to the gearbox.



Main frame 2.80%

Made from steel, must be strong enough to support the entire turbine drive train, but not too heavy.



Gearbox 12.91%

Gears increase the low rotational speed of the rotor shaft in several stages to the high speed needed to drive the generator.



Generator 3.44%

Converts mechanical energy into electrical energy. Both synchronous and asynchronous generators are used.



Yaw system 1.25%

Mechanism that rotates the nacelle to face the changing wind direction.



Pitch system 2.66%

Adjusts the angle of the blades to make best use of the prevailing wind.



Power converter 5.01%

Converts direct current from the generator into alternating current to be exported to the grid network.



Transformer 3.59%

Converts the electricity from the turbine to higher voltage required by the grid.



Disc brakes bring the turbine to a halt when required.



Nacelle housing 1.35%

Lightweight glass fibre box covers the turbine's drive train.

Cables 0.96%

Link individual turbines in a wind farm to an electricity sub-station

Screws 1.04%

Hold the main components in place, must be designed for extreme loads.

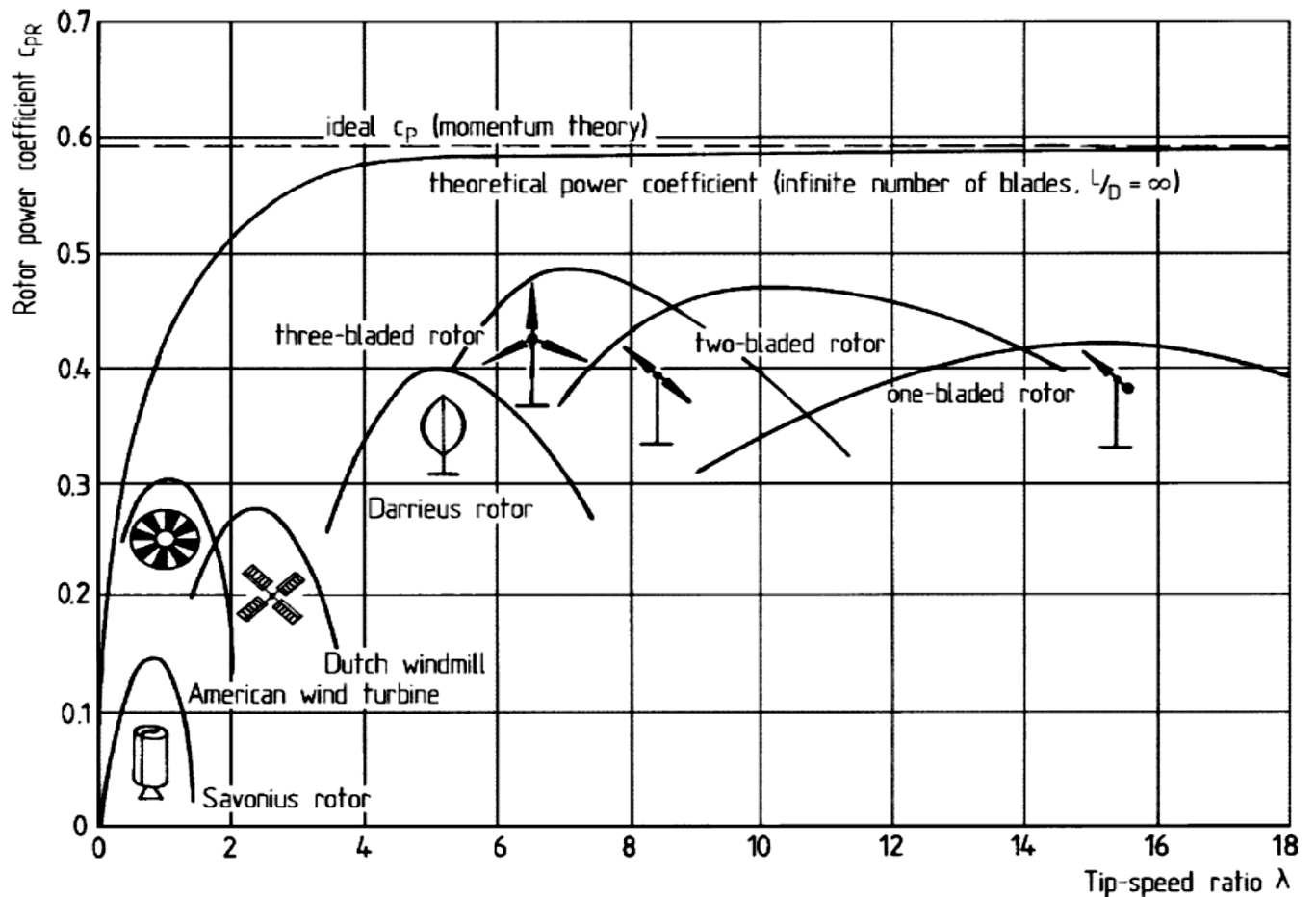
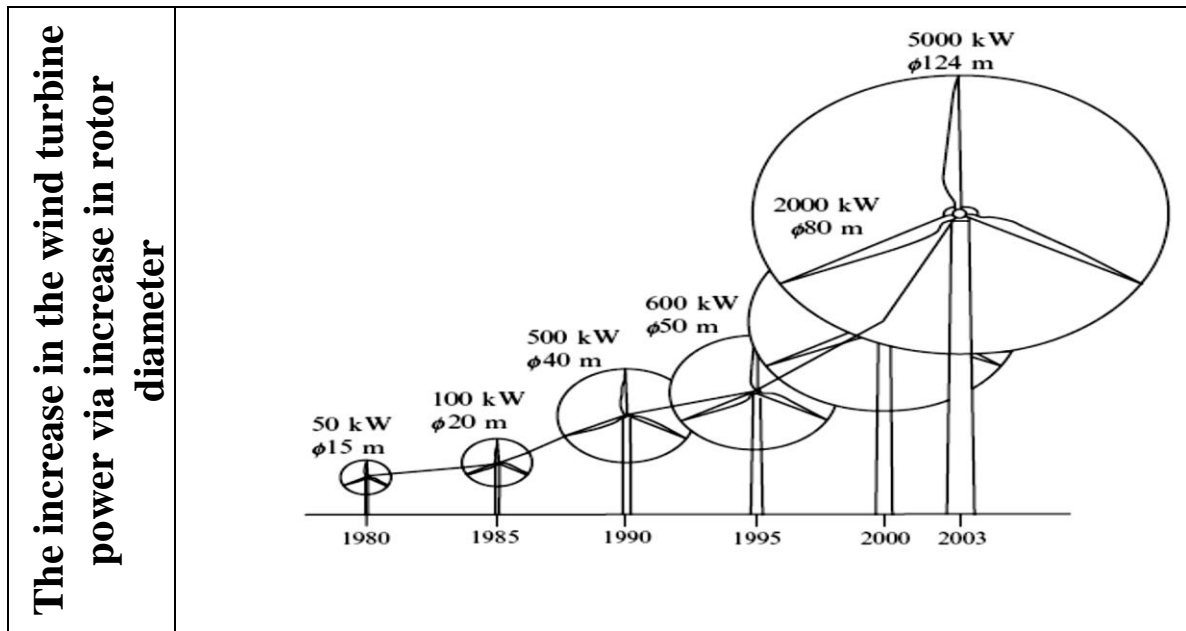
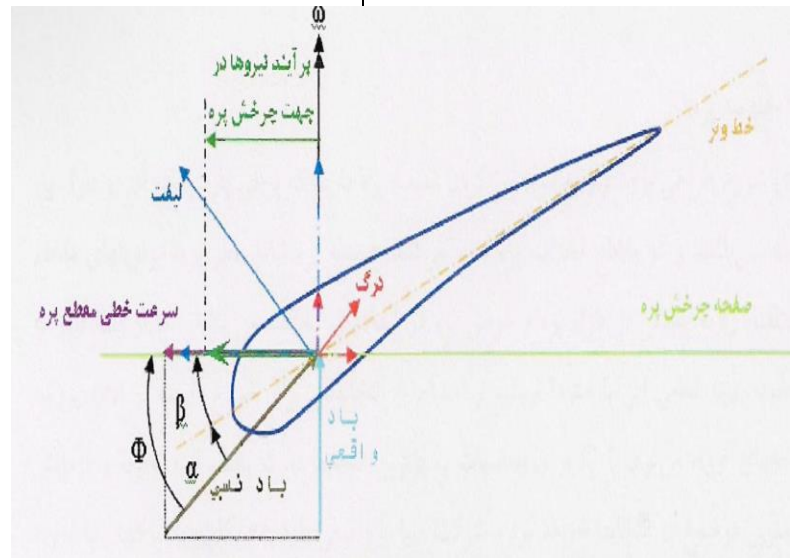
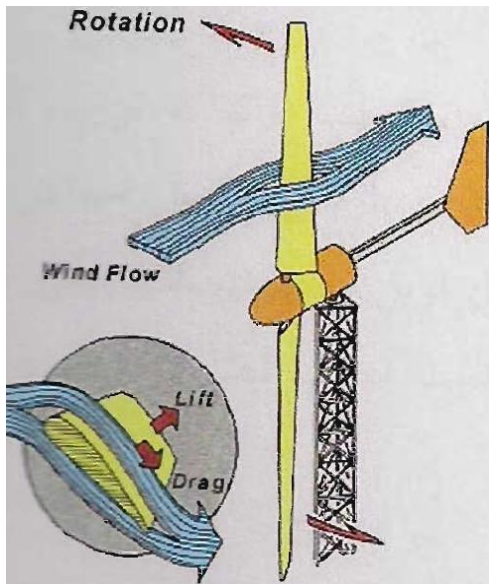


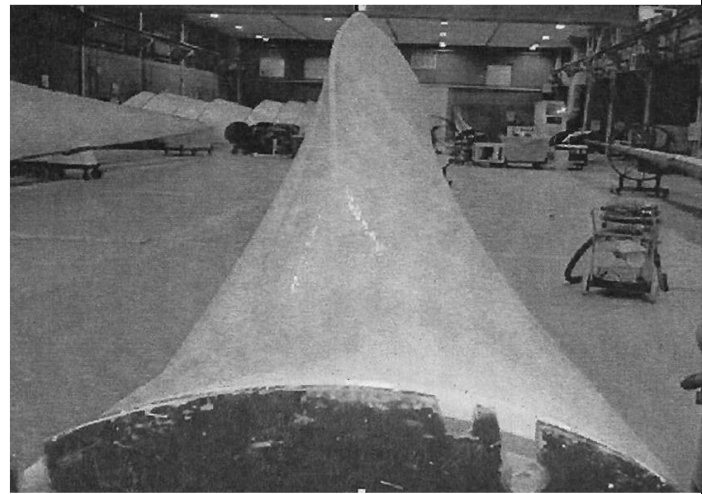
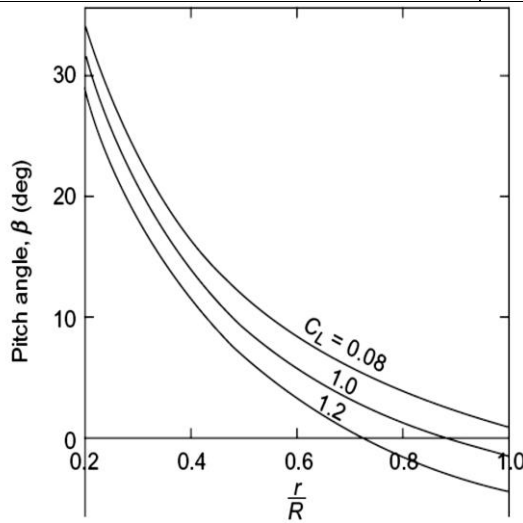
FIG 1. A plot of rotor power coefficient as a function of tip speed ratio for various turbines

Slide#44- Turbomachinery Course- WIND TURBINES/ DESIGN

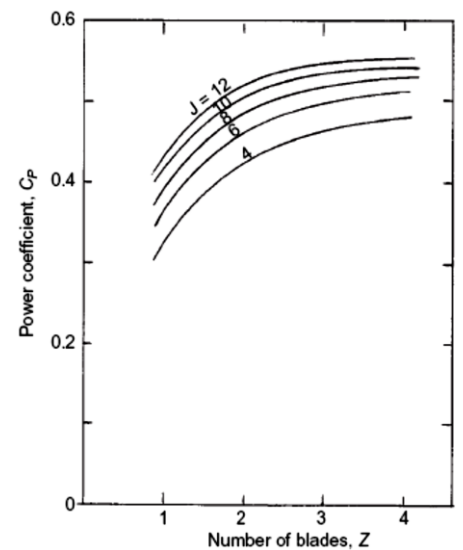
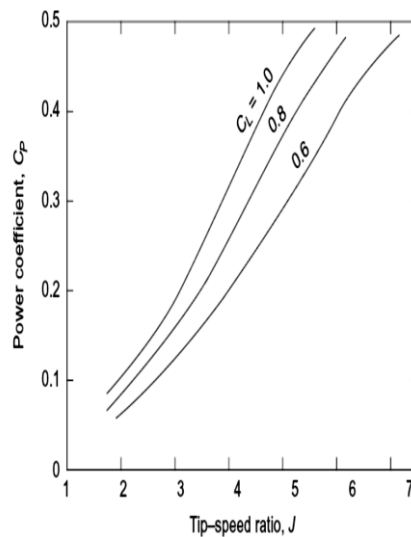
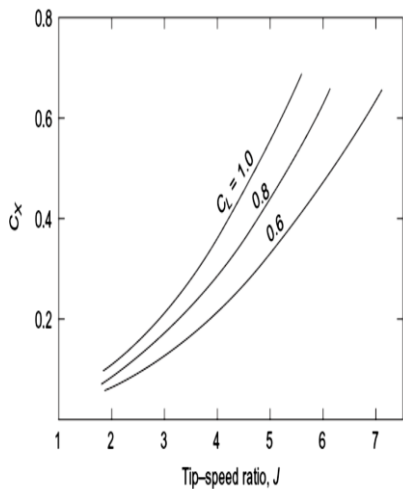
Cross section and Velocity Triangle of a wind turbine



Effect of the Important variables on a Wind Turbine



Effect of the Important variables on a Wind Turbine



• طول خط وتر در طول پره:

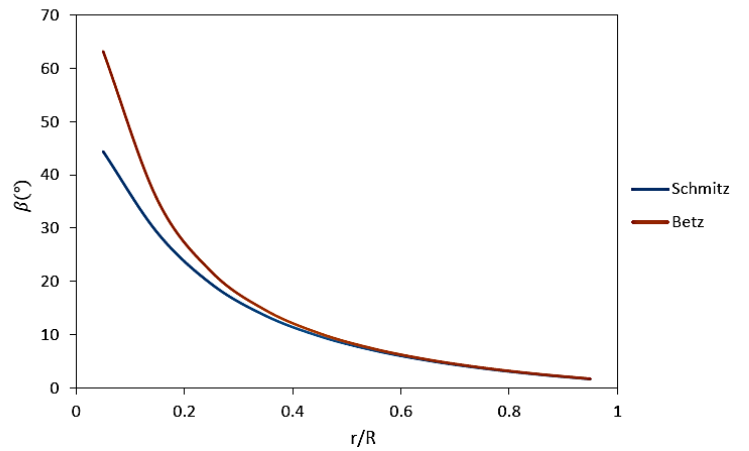
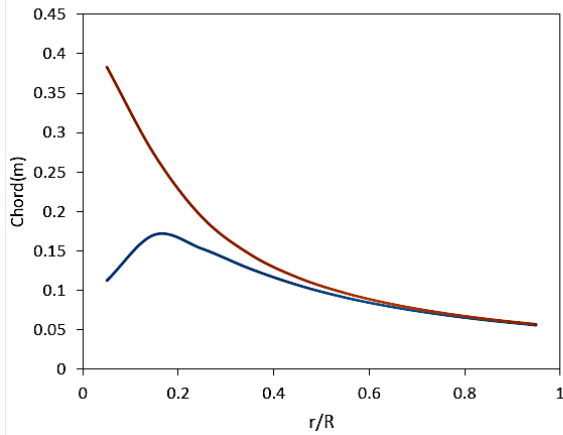
$$C(r)_{Betz} = \frac{16\pi R}{9BC_{L,D}} \frac{1}{\lambda \sqrt{\lambda^2 \left(\frac{r}{R}\right)^2 + \frac{4}{9}}}$$

$$c(r)_{Schmitz} = \frac{1}{B} \frac{16\pi r}{C_L} \sin^2\left(\frac{1}{3} \tan^{-1}\left(\frac{R}{\lambda r}\right)\right)$$

• زاویه پیچش در طول پره:

$$\beta(r)_{Betz} = \tan^{-1} \frac{2R}{3r\lambda} - \alpha_D$$

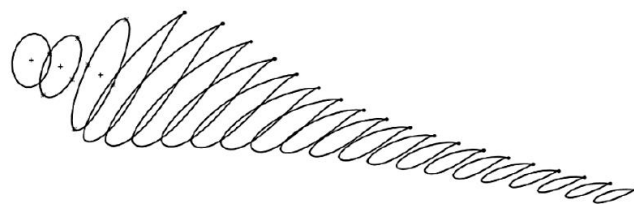
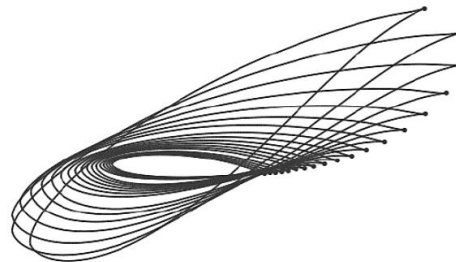
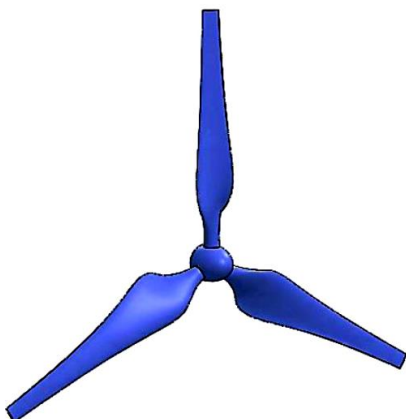
$$\beta(r)_{Schmitz} = \frac{2}{3} \tan^{-1} \frac{R}{\lambda r} - \alpha_D$$



• چینش ایرفویل‌ها:

$$x_{cp} = \frac{c}{4} - \frac{M_{LE/4}}{L}$$

$$x_{cp} = \left(\frac{1}{4} - \frac{C_M}{4C_L}\right)c$$



Slide#46- Turbomachinery Course- WIND TURBINES/ DESIGN



Thick aerofoil family for HAWTs of diameter 2 to 11m ($P = 2$ to 20kW)



Tip-region airfoil, 90% radius

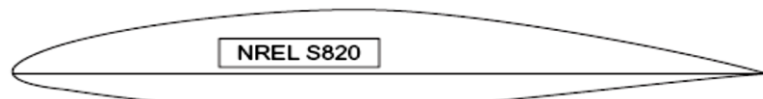


Root-region airfoil, 40% radius

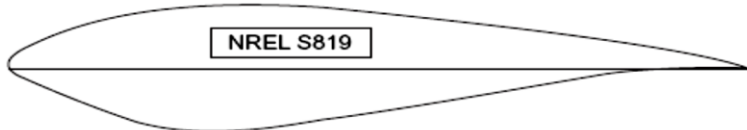
Design Specifications

Airfoil	r/R	$Re (\times 10^6)$	t/l	C_{Lmax}	$C_D (min)$
S822	0.9	0.6	0.16	1.0	0.010
S823	0.4	0.4	0.21	1.2	0.018

Thick aerofoil family for HAWTs of diameter 11 to 21 m ($P = 20$ to 100kW)



Tip-region airfoil, 95% radius



Primary outboard airfoil, 75% radius

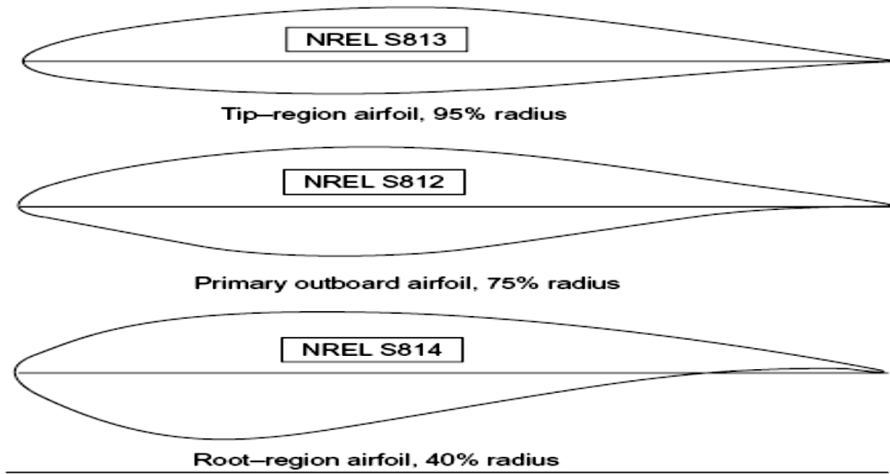


Root-region airfoil, 40% radius

Design Specifications

Airfoil	r/R	$Re (\times 10^6)$	t/l	C_{Lmax}	$C_D (min)$
S820	0.95	1.3	0.16	1.1	0.007
S819	0.75	1.0	0.21	1.2	0.008
S821	0.40	0.8	0.24	1.4	0.014

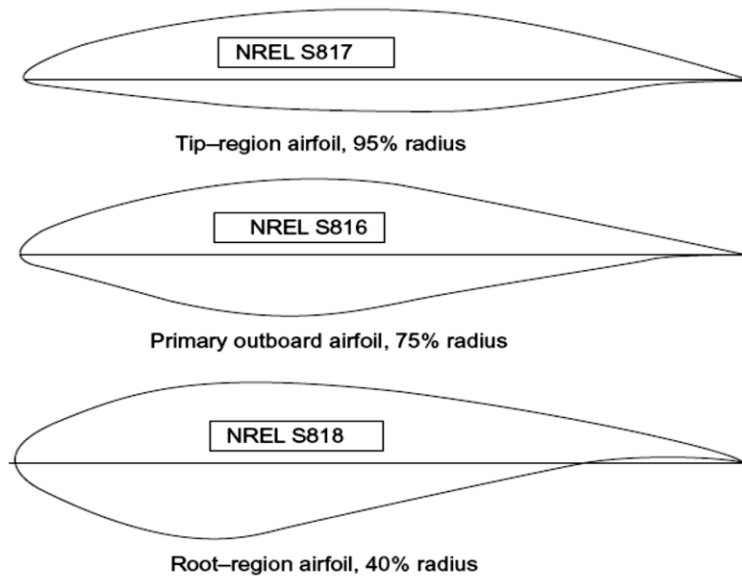
Thick aerofoil family for HAWTs of diameter
21 to 35 m ($P = 100$ to 400kW)



Design Specifications

Airfoil	r/R	$Re (\times 10^6)$	t/l	C_{Lmax}	$C_D (min)$
S813	0.95	2.0	0.16	1.1	0.007
S812	0.75	2.0	0.21	1.2	0.008
S814	0.40	1.5	0.24	1.3	0.012
S815	0.30	1.2	0.26	1.1	0.014

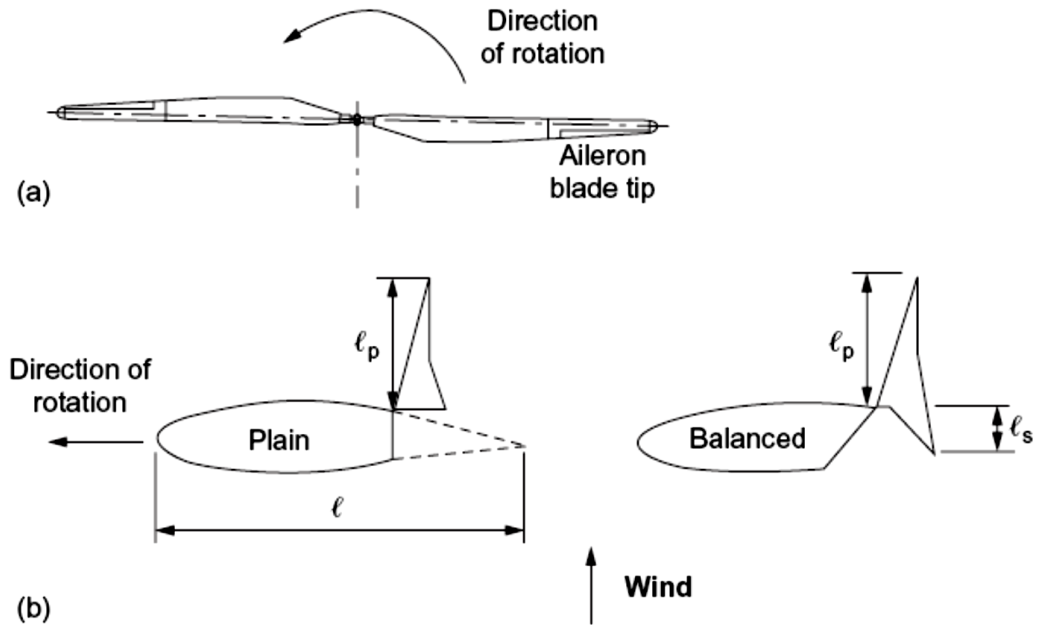
Thick aerofoil family for HAWTs with $D > 36\text{m}$
(blade length 15 to 25 m,
 $P = 400$ to 1000 kW). (Courtesy NREL.)



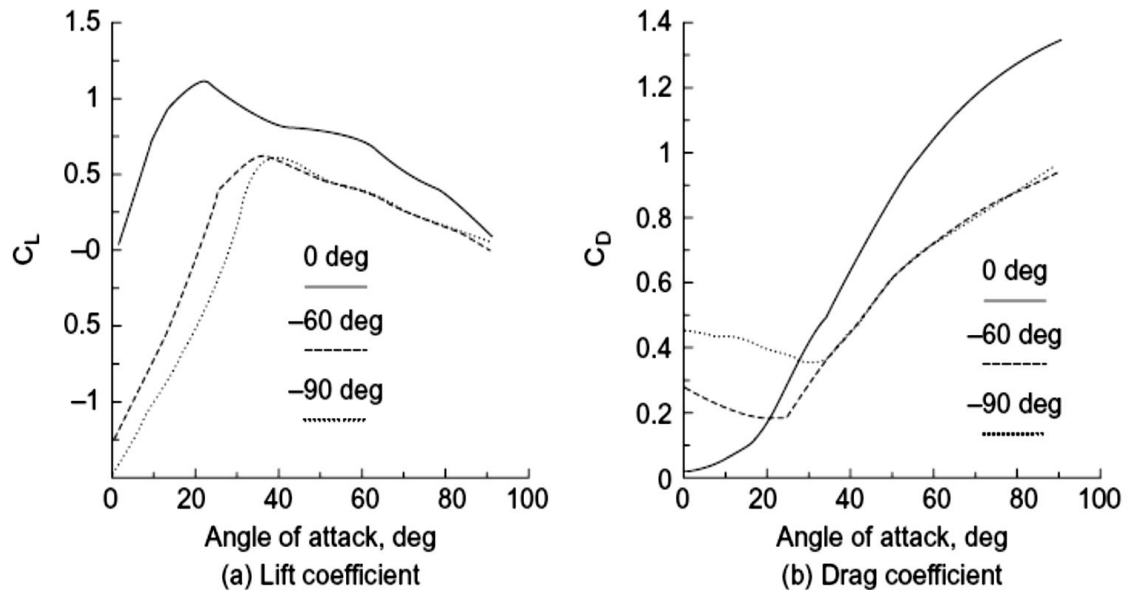
Design Specifications

Airfoil	r/R	$Re (\times 10^6)$	t/l	C_{Lmax}	$C_D (min)$
S817	0.95	3.0	0.16	1.1	0.007
S816	0.75	4.0	0.21	1.2	0.008
S818	0.40	2.5	0.24	1.3	0.012

Aileron control surfaces: (a) showing position of ailerons on two-bladed rotor; (b) two types of aileron in fully deflected position (adapted from Miller and Sirocky 1985).



Variation of (a) lift and (b) drag coefficients for the 38% chord ailerons when set at 0, -60 deg and at -90 deg. (Adapted from Savino *et al.* 1985. Courtesy of NASA.)



Slide#50- Turbomachinery Course- OCEAN ENERGY

Table 10.3 Worldwide ocean energy projections: installed capacity

GW	2007	2010	2020	2025	2030	2040	2050
Very optimistic	0.4	1	20.4	40	61	149	309
Optimistic/Realistic	0.4	1	17	30	44	98	194
Pessimistic	0.4	0.4	4.8	7.4	10	20	40

Source: NEEDS project (2008)

Table 10.4 Worldwide ocean energy projections: generated electricity

TWh	2007	2010	2020	2025	2030	2040	2050
Very optimistic	1	3	70	151	231	593	1281
Optimistic/Realistic	1	3	51	101	152	372	773
Pessimistic	1	1	14	22	30	69	152

Source:NEEDS project (2008)

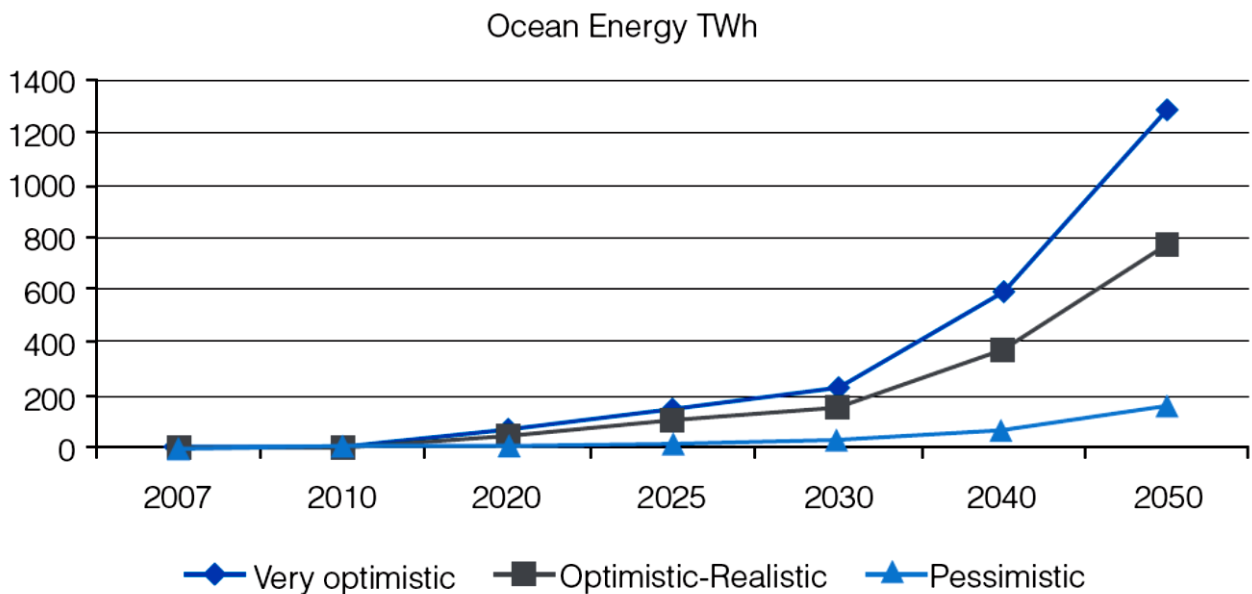
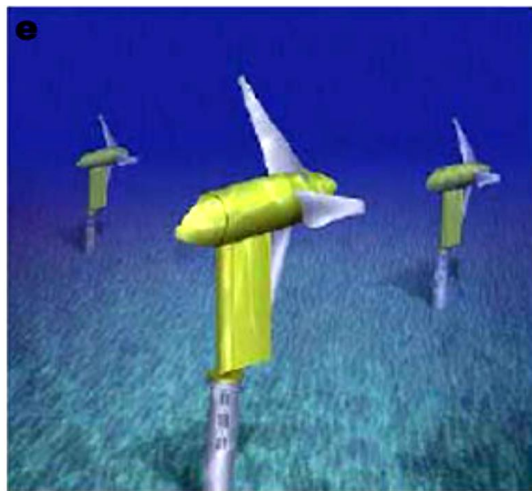
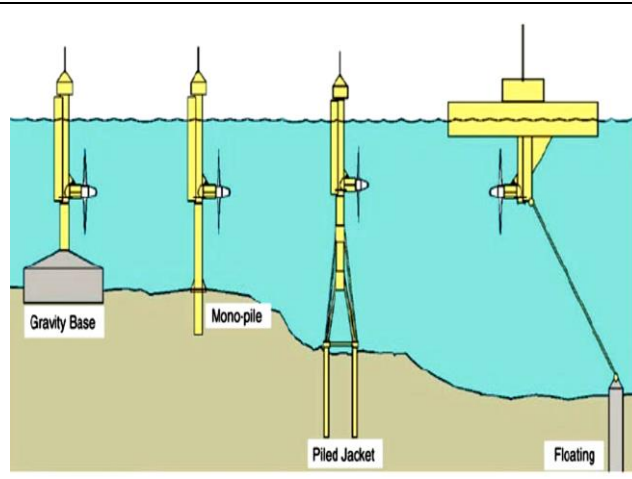


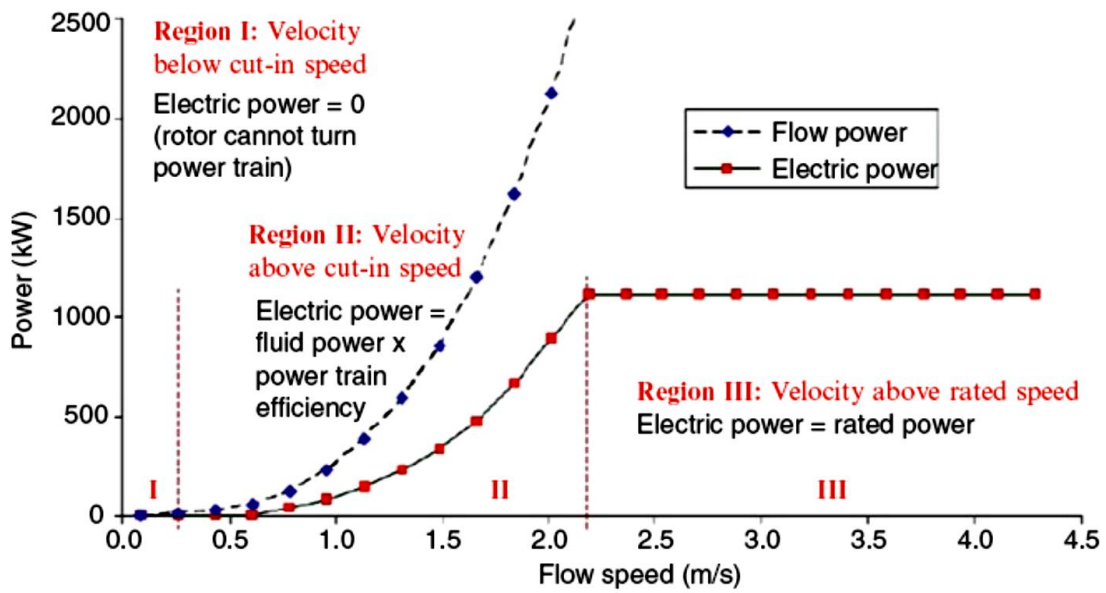
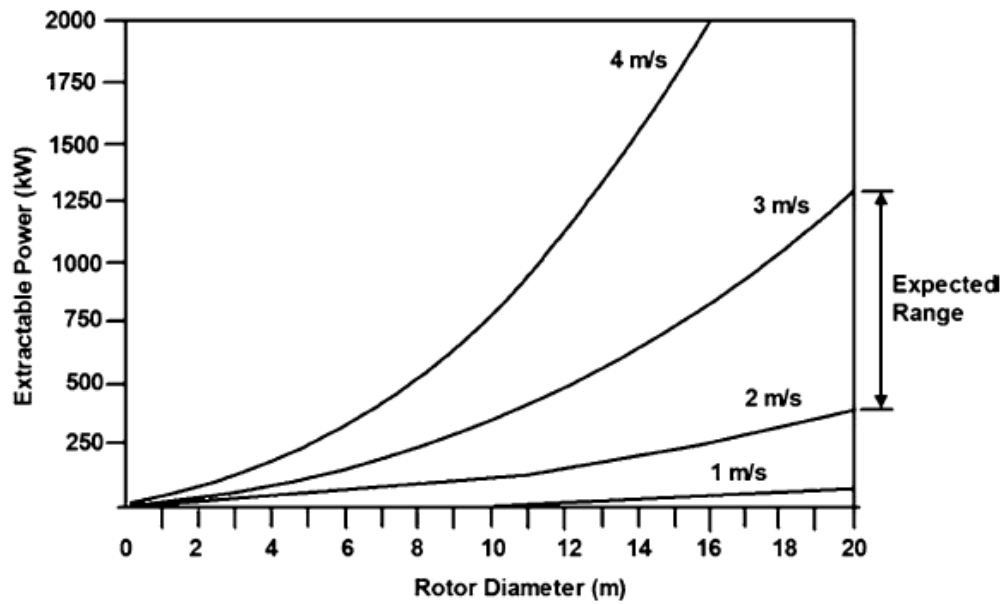
Figure 10.9 Worldwide ocean energy projections: generated electricity

<p style="writing-mode: vertical-rl; transform: rotate(180deg);"> Harnessing of wave energy by TAPCHAN systems for power production, oscillating water column and overtopping </p>		<p>Wells turbine turns in same direction irrespective of airflow direction</p> <p>Incoming wave forces air out of OWC</p>
		<p>Retreating wave sucks air back into OWC</p>
<p style="writing-mode: vertical-rl; transform: rotate(180deg);"> Floating device </p>	<p>Oregon State University Conceptual Wave Park</p> <p>1.2 miles offshore</p> <p>Magnetic Shaft anchored to seafloor</p> <p>Electric Coil secured to heaving buoy</p> <p>Permanent Magnet Linear Generator Buoy</p>	<p>Side View</p> <p>Wave direction</p> <p>Top View</p> <p>Wave direction</p>

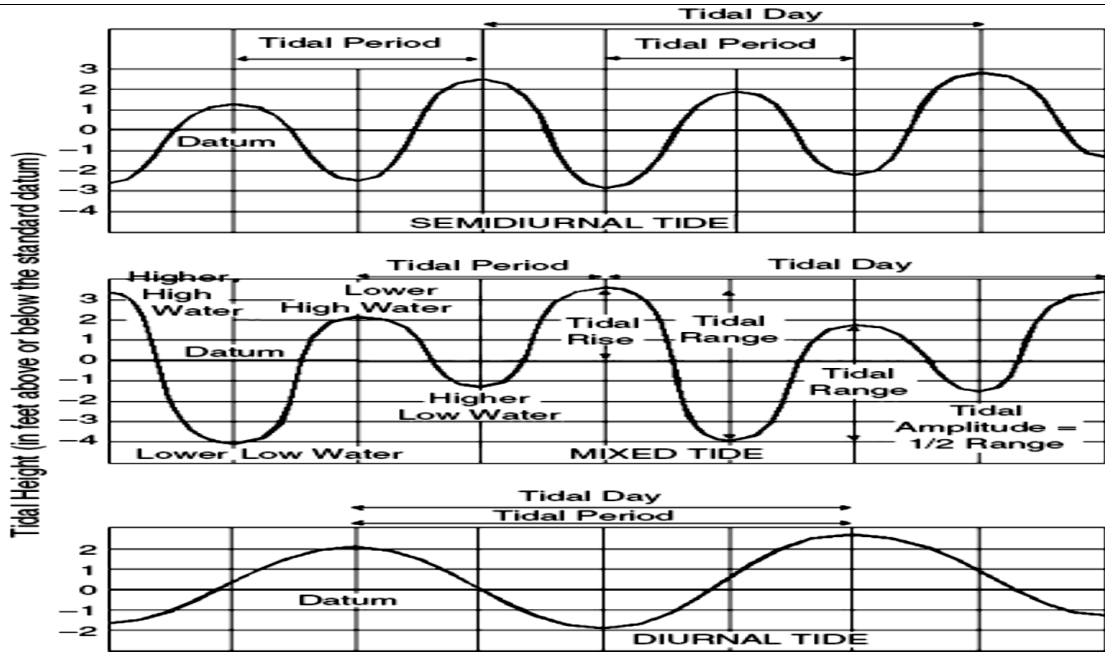
Horizontal & Vertical Axis Turbines (HAT)



Slide#53- Turbomachinery Course- OCEAN ENERGY



Different Types of Tides

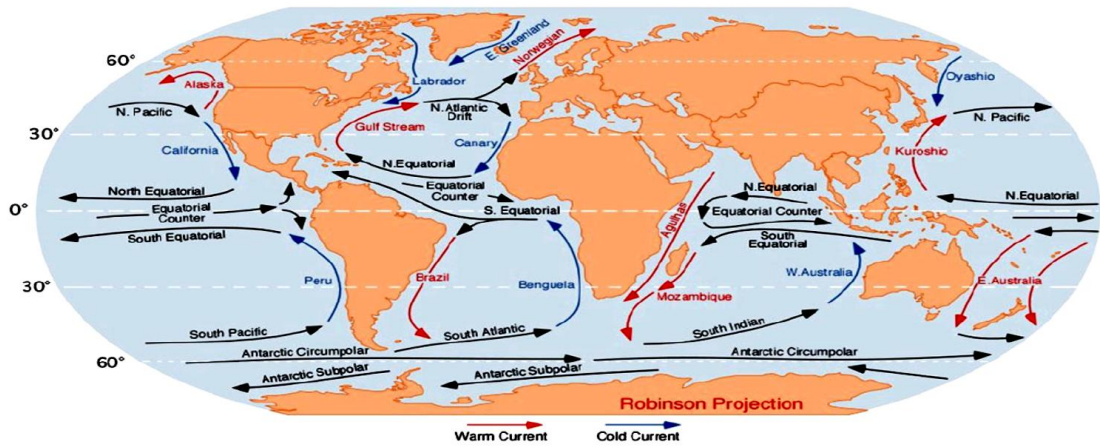


Locations for High Tides

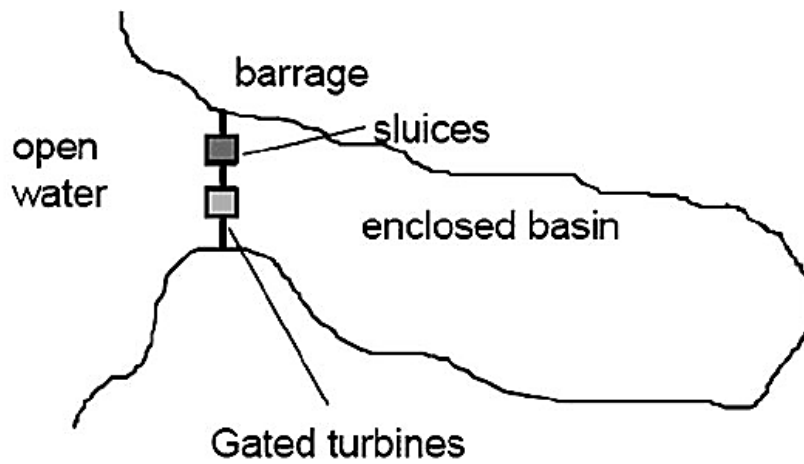
Country	Site	Tide range (m)
Canada	Bay of Fundy	16.2
England	Severn Estuary	14.5
France	Port of Ganville	14.7
France	La Rance	13.5
Argentina	Puerto Rio Gallegos	13.3
Russia	Bay of Mezen (White Sea)	10.0
Russia	Penzhinskaya Guba (Sea of Okhotsk)	13.4

Source: Wave Dragon APS [88]

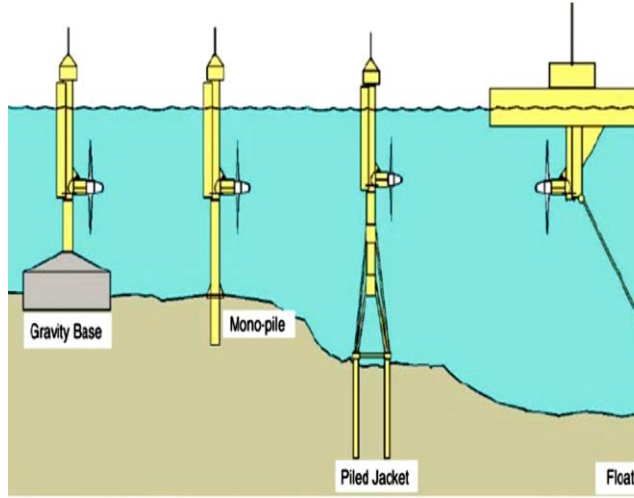
Surface Ocean Current



Single-Basin Tidal Barrage Mode



Horizontal & Vertical Axis Turbines (HAT)



Slide#57- Turbomachinery Course- GOROLOV TURBINE

